

پتروژنر سنگ‌های آتشفشاری شمال غرب بم

عادل سرخوشی؛ دانشگاه زنجان

مهراج آقازاده*؛ گروه زمین‌شناسی، دانشگاه پیام نور، ایران

علیرضا جوانشیر؛ دانشگاه تربیت مدرس

دریافت ۹۳/۲/۲۱ پذیرش ۹۴/۳/۲۳

چکیده

در شمال و شمال‌غرب شهرستان بم، فعالیت‌های آتشفشاری گسترده‌ای در زمان ائوسن رخ داده و سنگ‌های آتشفشاری بازیک و اسیدی به همراه نهشته‌های آذرآواری تشکیل شده‌اند. نهشته‌های ائوسن، به وسیلهٔ مجموعهٔ دایک‌های مختلف قطع شده‌اند. سنگ‌های آتشفشاری ماهیت ساب آلکالن و کالک آلکالن تا شوشوونیتی و دایک‌ها ماهیت آلکالن پتاسیک دارند. در نمودارهای عنکبوتی، نمونه‌ها، الگوی غنی‌شدگی از عناصر LILE و تهی‌شدگی از عناصر HFSE را نشان می‌دهند که با الگوهای مربوط به سنگ‌های محیط‌های فرورانشی و پوستهٔ فوقانی هماهنگ است. هم‌چنین، نمونه‌های بررسی شده الگوی غنی‌شدگی از عناصر LREE نسبت به HREE و نسبت‌های متغیری از La/Yb را نشان می‌دهند. سنگ‌های آندزیتی و آندزیت بازالتی، از تحول ماقمای ناشی از ذوب؛ منشأ گوشه‌ای اسپینل لرزولیتی متاسوماتیسم شده در شرایط فرورانش ایجاد شده‌اند که بعداً فرایند MASH را تحمل کرده‌اند. داسیت‌های منطقه، از ذوب‌بخشی منشأ مافیک آمفیبولیتی در پوسته زیرین ایجاد شده‌اند. در حالی که، سنگ‌های ریولیتی از ذوب‌بخشی منشأ متاگرایوک در پوسته نشات گرفته‌اند. دایک‌های اولیوین بازالتی و بازالتی از ذوب‌بخشی کمتر از ۵ درصدی منشأ گارنت اسپینل لرزولیتی متاسوماتیسم شده به وسیلهٔ فرایندهای فرورانش ایجاد شده‌اند. ماقمایتیسم ائوسن، در منطقه بم، در اثر فرورانش پوسته اقیانوسی نئوتیس به زیر ایران مرکزی، در محیطی آتشفشاری قوس قاره‌ای، ایجاد شده است.

واژه‌های کلیدی: سنگ‌های آتشفشاری، گوشه‌های متاسوماتیسم شده، پتروژنر، ائوسن، بم.

مقدمه

مهم‌ترین ویژگی کمربندهای کوه‌زایی مرتبط با فرورانش حضور سنگ‌های آتشفشاری است که مشخصه عمومی آن‌ها غنی‌شدگی از عناصر ناسازگار بزرگ‌یون (LILEs) و تهی‌شدگی از عناصر با شدت میدان زیاد (HFSEs) است [۱، [۲، [۳، [۴، [۵]. هر چند که، در این کمربندها برتری با سنگ‌های آتشفشاری حدواسط از نوع آندزیت است، ولی حضور سنگ‌های بازیک و فلسيک به‌ویژه اين آخري در محیط‌های کمان‌های آتشفشاری قاره‌ای با فراوانی زياد گزارش شده‌اند [۶]. در محیط کمان‌های آتشفشاری قاره‌ای، ماقمایتیسم از منابع مختلفی نشأت می‌گيرد که مهم‌ترین آن‌ها عبارتند از: ۱) گوشه‌های متاسوماتیسم شده با سیالات و مذاب‌های نشأت گرفته از پوسته اقیانوسی فرورونده و ۲) پوسته قاره‌ای بالايی، اهمیت چشم‌گيری دارند [۶، [۷]. اين امر پيچيدگی‌های تعیين منشأ انواع ماقمها در اين محیط‌ها را

*نويسنده مسئول Mehrajaghazadeh@yahoo.com

چندین برابر می‌کند. ماهیت مآگماها از تولئیتی، کالک آلکالن تا شوشونیتی و آلکالن در کمریندهای آتشفسانی مختلف گزارش شده است که در محیط‌های کمان‌های قاره‌ای برتری با مآگماتیسم کالک آلکالن و شوشونیتی است. هم‌گرایی صفحات ایران و عربی در اواخر مزوژوئیک و ادامه آن در اوایل سنوزوئیک سبب فروزانش پوسته اقیانوسی به زیر صفحه ایران مرکزی شده است [۸، ۹، ۱۰]. این هم‌گرایی سبب ایجاد مآگماتیسم عظیمی در کمریندهای سندج‌سیرجان (در دوره مزوژوئیک) و ارومیه‌دختر (در دوره ترشیاری) شده است [۹]. کمریند ارومیه‌دختر میزبان مآگماتیسم عظیمی در دوره ترشیاری از نوع قوس قاره‌ای [۱۱] یا جزیره قوسی [۱۲] است. از نظر حجمی، عمدۀ مآگماتیسم در دوره ائوسن رخ داده است. مآگماتیسم عظیم ائوسن در کمریند ارومیه‌دختر به فروزانش پوسته اقیانوسی نئوتیس [۱۳] و یا ریفت‌شدنی [۱۴] نسبت داده شده است. در طول کمریند مآگماتیسم ترشیاری عمدتاً ماهیت کالک آلکالن را نشان می‌دهد. اما مآگماتیسم با ماهیت‌های آدکیتی و شوشونیتی نیز از این کمریند گزارش شده است [۱۰، ۱۵، ۱۶]. اخیراً مآگماتیسم در این کمریند به کاهش شبیه صفحه فروزانش نئوتیس و جایه‌جایی مآگماتیسم از زون سندج‌سیرجان در مزوژوئیک به کمریند ارومیه‌دختر در دوره ترشیاری [۹] و هم‌چنین شکستن و پارگی در صفحه فروزنده نئوتیس در زمان ائوسن [۱۷] نسبت داده شده است.

منطقه بررسی شده در ۴۵ کیلومتری شمال غرب شهرستان بم، بین طول‌های جغرافیایی $60^{\circ}35'00''$ تا $61^{\circ}20'00''$ شرقی و $32^{\circ}58'00''$ تا $32^{\circ}63'00''$ شمالی، واقع شده است (شکل ۱). محدوده مورد نظر، در بین اهالی شهر بم بهنام خنج‌کاو نامیده می‌شود. این محدوده شامل بخشی از رشته کوه‌های واقع در شمال و شمال غرب بم با امتداد شمال غربی-جنوب شرقی است (شکل ۱) و از مجموعه آتشفسانی کمپلکس هزار (کمریند کرمان) محسوب می‌شود. این مجموعه آتشفسانی، به صورت دگرشیب روی کنگلومراتی کرمان با سن کرتاسه پایانی-پالئوسن واقع شده است از این رو، این مجموعه آتشفسانی به دوره ائوسن تعلق دارد. در این زون نهشته‌های آتشفسانی به صورت گدازه و آذرآواری رخنمون دارند. سنگ‌های آتشفسانی با ماهیت مافیک و اسیدی غالب است و نهشته‌های حدواتسط فراوانی کمتری دارند. نهشته‌های اسیدی حجم عظیمی از رخنمون‌های موجود در این زون را به‌خود اختصاص داده‌اند و برتری حجمی زیادی را دارند (شکل ۱). سنگ‌های مافیک به صورت روانه‌های گدازه‌ای با ترکیب بازالتی تا آندزی بازالتی با نهشته‌های اسیدی با ترکیب ریوداسیتی و عمدتاً با ماهیت آذرآواری همراه هستند. رخداد ناچیز نهشته‌های حدواتسط آندزیتی در این زون اهمیت پترولوبیکی این زون را دو چندان می‌کند. در این تحقیق به پترولوبیتی و پتروزنز سنگ‌های آتشفسانی این زون، در منطقه خنج‌کاو، پرداخته خواهد شد. بر اساس مشاهدات صحرایی و تجزیه‌های ژئوشیمیایی، در باره ماهیت این سنگ‌ها و ژنز مآگمای تشکیل دهنده آن‌ها بحث می‌شود.

روش پژوهش

برای بررسی دقیق منطقه، اقدام به تهیه نقشه زمین‌شناسی با مقیاس ۱:۲۰۰۰۰ شد. در حین تحقیقات صحرایی، از رخنمون‌های مختلف واحدهای موجود در منطقه تعداد ۱۰۰ نمونه برای بررسی‌های پتروگرافی برداشت شد. در حین برداشت نمونه‌ها، سعی شد که نمونه‌های سالم‌تر و فاقد دگرسانی برای بررسی‌های آزمایشگاهی برداشت شود. نمونه‌های برداشت شده، به آزمایشگاه ارسال و از آن‌ها مقاطع نازک تهیه شد و سپس با میکروسکوپ پلاریزان بررسی شدند. بعد

از بررسی‌های میکروسکوپی و دسته‌بندی گروه‌های مختلف سنگی منطقه، تعداد ۱۴ نمونه سالم انتخاب و برای تعیین اکسیدهای عناصر اصلی و فرعی به آزمایشگاه GENALYSIS استرالیا فرستاده شدند و به روش XRF برای عناصر اصلی و برخی عناصر کمیاب و نادر خاکی تجزیه شدند (جدول ۱).

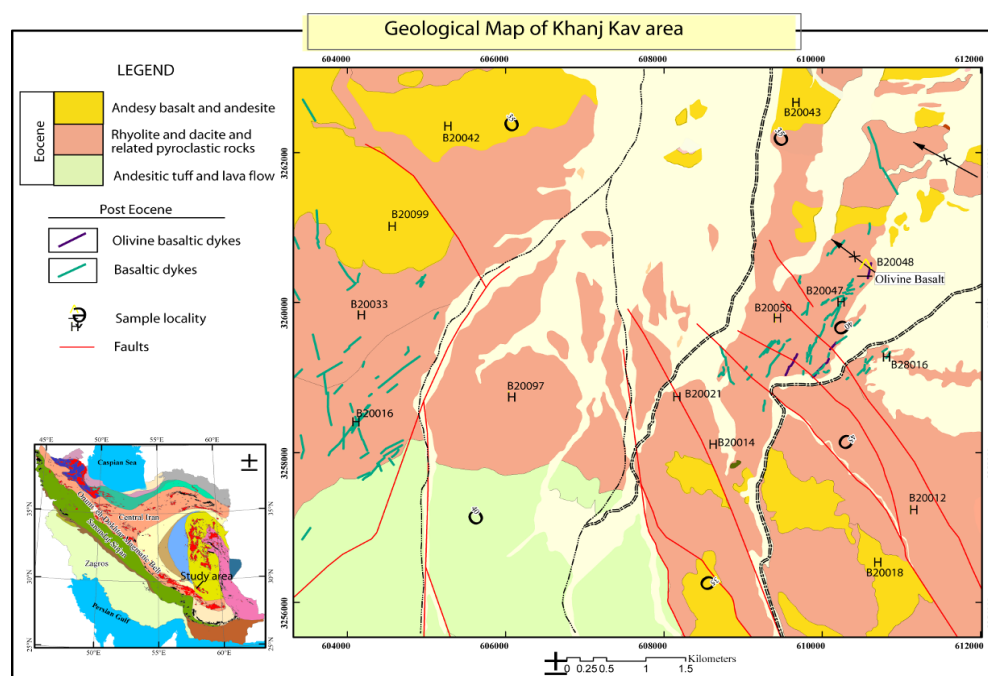
زمین‌شناسی

محدوده بررسی شده، در شمال‌غرب شهرستان بم واقع شده و بخشی از کمریند آتشفشاری شمال و شمال‌غرب بم را شامل می‌شود. این نهشته‌های آتشفشاری، بر اساس پژوهش‌های ناحیه‌ای و تهیه نقشه‌های زمین‌شناسی کوچک مقیاس، به ائوسن نسبت داده شده‌اند، که به طور دگرشیب روی کنگلومراهای کرمان قرار گرفته‌اند. بر اساس نقشه زمین‌شناسی تهیه شده از محدوده بررسی شده (شکل ۱)، رخنمون‌های ائوسن موجود در منطقه، به دو دسته عمده آذرآواری و گدازه‌ای قابل تفکیک هستند. هم‌چنان، این نهشته‌ها شامل دو ترم عمده مافیک و اسیدی هستند و نهشته‌های با ترکیب میانه در محدوده حجم کمتری دارند. نهشته‌های فوق، با دایک‌های متعددی قطع شده‌اند که این دایک‌ها به بعد از ائوسن نسبت داده می‌شوند.

قدیمی‌ترین رخنمون‌های موجود در محدوده را نهشته‌های رسوبی- آتشفشاری ائوسن با ماهیت آذرآواری تشکیل می‌دهند که به صورت توالی ماسه سنگ، سیلتستون، توف آندزیتی و لاپیل توف هستند (شکل ۱). بخش زیرین این نهشته‌ها مشخص نیست و در بخش بالایی به نهشته‌های آذرآواری و گدازه‌ای اسیدی ختم می‌شوند. این نهشته‌ها رنگ قهوه‌ای تیره تا جگری را دارند. در بین نهشته‌های مذکور گدازه‌های آندزیتی تا تراکی آندزیتی و آندزیت بازالتی دیده می‌شوند. این گدازه‌ها معمولاً ضخامت کمتر از ۵ متر دارند. گدازه‌ها بافت پورفیری و میکروپورفیری دارند و با توجه به مقاومتشان در مقابل فرسایش از سنگ‌های مجاور برجسته‌تر دیده می‌شوند. نهشته‌های آذرآواری و گدازه‌های اسیدی، که ترکیب ریوداسیتی تا ریولیت دارند، با حجم عظیم در منطقه رخنمون دارند (شکل ۲a). نهشته‌های آذرآواری به صورت توف دانه‌ریز، ایگنیمبریت، لاپیل توف و آگلومرا دیده می‌شوند. در داخل این نهشته‌ها قطعات سنگی مختلف با ترکیب عمومی داسیت تا ریولیت حضور دارند. سنگ‌های لاپیل توف و ایگنیمبریت در این واحد برتری دارند. نهشته‌های ایگنیمبریتی ساخت جوش‌خورده داشته و به خوبی این ساخت را در خود حفظ کرده‌اند. در بین این نهشته‌های آذرآواری، لایه‌های گدازه با ترکیب ریوداسیتی رخنمون دارند که گاه لایه‌ها به صورت لنزهایی دیده می‌شوند که ابعاد حدود ۳۰۰ تا ۲۰۰ متر را دارند. رنگ عمومی این نهشته‌ها خاکستری روشن است و همانند محور آتشفشاری شمال و شمال‌غرب بم، عمدۀ رخنمون‌های محدوده نیز به این واحد اسیدی تعلق دارد. گدازه‌های اسیدی بافت پورفیری و درشت بلورهایی از کوارتزهای خلیجی، فلدنیپار و کانی‌های مافیک بیوتیت و آمفیبول با حواشی سوخته دارند. در داخل این نهشته‌ها گاه میان لایه‌هایی از گدازه‌های آندزیت بازالتی دیده می‌شوند (شکل ۲b). این میان لایه‌ها، در مقایسه با نهشته‌های اسیدی، حجم ناچیزی دارند. رنگ عمومی آن‌ها تیره است و بافت پورفیری با فنوکریسته‌ای پلازیوکلاز و اولیوین ایدینگسیتی و کلینوپیپروکسن دارند. هرچند که، در بخش بالایی سکانس آذرآواری در بخش‌هایی به صورت محدود، رخنمون‌هایی از سنگ‌های آهکی دیده می‌شوند؛ ولی این سنگ‌ها در همه جا حضور نداشته و پیش‌روی دریابی گستردۀ در منطقه را نشان نمی‌دهند. به نظر می‌رسد که، در بخش‌هایی به صورت محدود

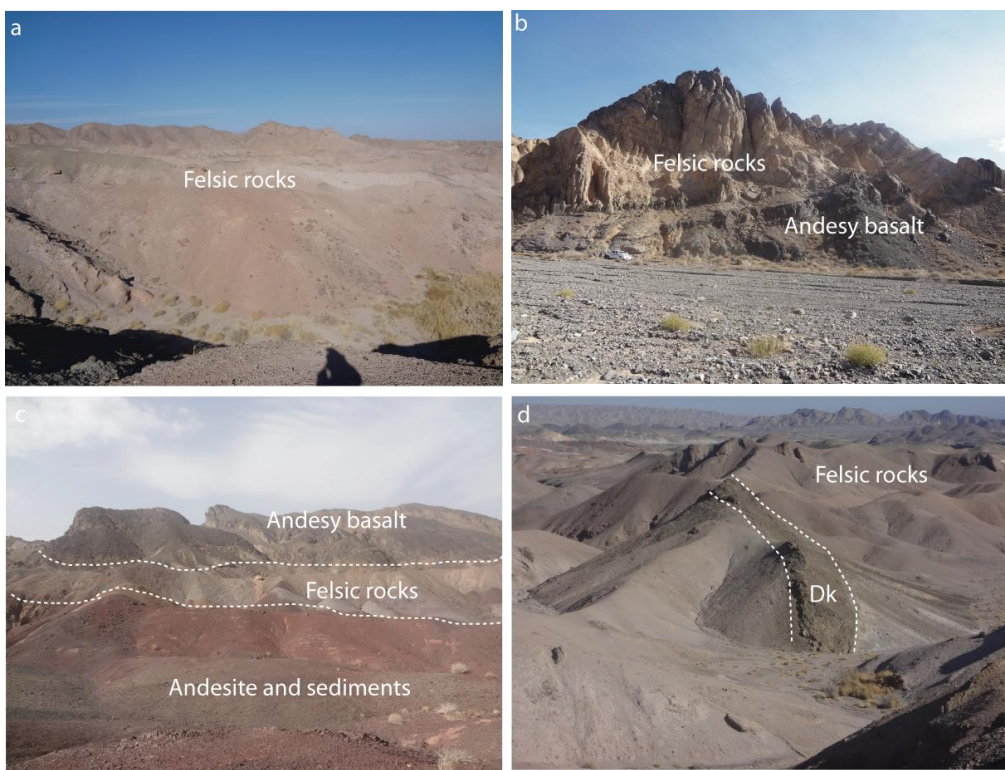
این نهشته‌ها در یک محیط نیمه‌دریایی تشکیل شده‌اند. روی سکانس فوق نهشته‌های بازالتی و آندزیت بازالتی تا آندزیتی قرار دارند. این نهشته‌ها به صورت لایه‌های با ضخامت بیش از ۲۰ متر روی نهشته‌های قلبی قرار دارند (شکل ۲c). گدازه‌های مذکور، سیاهرنگ تا خاکستری تیره‌اند و عموماً بافت میکروپورفیری با فوکریسته‌های پلاژیوکلاز و اولیوین‌های ایدینگسیتی شده دارند. واحد گدازه‌ای آخرین ظاهر ولکانیسم ائوسن در منطقه است.

در داخل نهشته‌های ائوسن، دایک‌های متعددی نفوذ کرده‌اند که می‌توان این دایک‌ها را به بعد از ائوسن نسبت داد (شکل ۱ و شکل ۲d). این دایک‌ها ترکیب بازالتی-دیابازی و اولیوین بازالتی دارند. دایک‌های با ترکیب اولیوین بازالتی جوان‌تر از دایک‌های بازالتی هستند و آن‌ها را قطع می‌کنند. دایک‌های بازالتی-دیابازی فراوانی چشم‌گیری، نسبت به دایک‌های اولیوین بازالتی، داشته و به رنگ خاکستری تیره دیده می‌شوند. دایک‌های اولیوین بازالتی خاکستری تیره‌اند، و نسبت به دایک‌های بازالتی، با حضور اولیوین‌های فراوان در نمونه دستی قابل تشخیص هستند. ابعاد دایک‌ها از کم‌تر از یک متر تا بیش از ۱۰ متر عرض و طول آن‌ها تا ۲۰۰ متر و بیش‌تر دیده می‌شوند. روند دایک‌ها از شمال‌غرب-جنوب‌شرق تا شمال‌شرقی-جنوب‌غربی در تغییر است که منطبق بر روند شکستگی‌های موجود در منطقه است. این دایک‌ها حاشیه‌های انجماد سریع نشان می‌دهند و گاهی به صورت مجموعه‌های دایک در دایک دیده می‌شوند.



شکل ۱. نقشه زمین‌شناسی محدوده برسی شده با مقیاس ۱:۲۰۰۰۰

بررسی‌های زمین‌شناسی و صحرایی نشان می‌دهد که عمدۀ ولکانیسم منطقه ماهیت آذرآواری دارد و فوران‌های عظیم با حالت انفجاری در دورۀ ائوسن در منطقه غالب بوده است که گاه با جریان‌های گدازه‌ای همراه شده است. البته در این بین، جریان‌های گدازه‌های مافیک در بخش بالایی سکانس برتری پیدا کرده است. در منطقه، ترم‌های اسیدی و بازیک برتری حجمی دارند با این حال، ترم‌های میانه نیز با حجم کمتری حضور دارند؛ ولی نسبت به زون کرمان که در جوار منطقه است، حجم سنگ‌های با ترکیب میانه آندزیتی در این زون کاهش یافته است.



شکل ۲. روابط صحرایی واحدهای سنگی رخنمون یافته در محدوده بررسی شده، (a) رخنمون‌های گستردۀ سنگ‌های اسیدی در محدوده بررسی شده، (b) رخنمون سنگ‌های آندزیت بازالتی در بین سنگ‌های فلزیک، (c) توالی سنگ‌های رسوبی و آندزیتی در زیر و سنگ‌های فلزیک در بالای آن‌ها و سنگ‌های بازیک در بالاترین بخش توالی (d) دایک‌های بازالتی در بین نهشته‌های فلزیک در محدوده بررسی شده

پتروگرافی

چنان‌که ذکر شد، عمدۀ رخنمون‌های سنگی موجود در محدوده شامل نهشته‌های آذرآواری، گدازهای و دایک‌ها هستند. در ادامه، به تفصیل، به ویژگی‌های پتروگرافی هر یک از این واحدها می‌پردازیم.

سنگ‌های آذرآواری آندزیتی و آندزیت‌ها

قدیمی‌ترین رخنمون‌های موجود در منطقه را سنگ‌های آذرآواری آندزیتی و آندزیت‌ها تشکیل می‌دهند، که همراه با نهشته‌های رسوبی رخنمون دارند. نهشته‌های رسوبی، دامنه‌ای از سیلت سنگ تا توفیت و ماسه سنگ توفی نشان می‌دهند. همراه با این سنگ‌ها، رخنمون‌هایی از توف‌های آندزیتی دیده می‌شوند، که شامل قطعات سنگی با ترکیبی آندزیت به همراه قطعات شیشه‌ای دویتره شده و قطعات بلوری عمدتاً پلازیوکلاز هستند. قطعات بلوری به طور بخشی با کانی‌های ثانویه مانند سریسیت و کلسیت جای‌گزین شده‌اند. این سنگ‌ها زمینه کلریتی شده به همراه اکسیدهای آهن فراوان دارند.

در داخل واحد مذکور، میان لایه‌هایی از گدازه آندزیتی دیده می‌شوند که این سنگ‌ها بافت پورفیری و زمینه میکرولیتی دارند. پلازیوکلاز کانی عمدۀ سنگ است که به صورت فنوکریست و میکرولیت‌هایی در زمینه سنگ دیده

می‌شود (شکل ۳ a). بلورهای پلازیوکلاز منطقه‌بندی ترکیبی و گاه حواشی تحلیل یافته دارند و با کانی‌های کلسیت و سریسیت و کلریت به طور بخشی و یا کاملاً جای‌گزین شده‌اند. در این سنگ‌ها کانی‌های مافیک عمدتاً شامل کلینوپیروکسن و بیوتیت هستند. گاهی بیوتیت‌ها با کانی‌های اپاک از حاشیه جای‌گزین شده‌اند. در برخی مقاطع از این سنگ‌ها، آمفیبیول از نوع هورنبلند اپاسیتی نیز دیده می‌شود. عمده زمینه از میکرولیت‌های فلدسپار آلکالن و پلازیوکلاز به‌همراه کانی‌های مافیک ذکر شده، شیشه کلریتی شده و کانی‌های اپاک تشکیل شده است.

سنگ‌های فلزیک

در محدوده بررسی شده، سنگ‌های فلزیک رخنمون گستردگی دارند که شامل انواع آذرآواری و گدازه‌ای هستند. سنگ‌های آذرآواری شامل انواع توف، لایلی توف و آگلومرا هستند. نهشتلهای توفی عمدتاً از نوع لیتیک کربستال توف هستند و حاوی قطعات سنگی با ترکیب اسیدی و گاهی متوسط همراه با بلورهای فلدسپار و کوارتز هستند (شکل ۳ b). همچنین قطعات کانی‌های مافیک بیوتیت و آمفیبیول اپاسیتی نیز دیده می‌شوند. در این سنگ‌ها سریسیتی شدن فلدسپارها، کلریتی شدن کانی‌های مافیک و تبلور مجدد شیشه شایع است. لایلی توف‌ها شامل قطعات کانی‌های فلدسپار، کوارتز، بیوتیت و آمفیبیول اپاسیتی شده به‌همراه قطعات سنگی اسیدی هستند که برتری با قطعات سنگی اسیدی است. همچنین در محدوده بررسی شده نهشتلهای سنگی مربوط به جریان خاکستر (Ash flow) به صورت توف‌های جوش‌خورده دیده می‌شوند. توف‌های جوش‌خورده در نمونه دستی به رنگ‌های قهوه‌ای و قرمز گوشتی دیده می‌شود. حالت جریان یافتگی در نمونه دستی قابل مشاهده است. وجود بلورهای شیری فلدسپار و قطعات شیشه‌ای کشیده از ویژگی‌های دیگر این سنگ‌ها است. در بعضی بخش‌های این واحد سنگی، لایه‌بندی نازک دیده می‌شود که رنگ و جنس لایه‌ها با هم فرق می‌کند. این تمایز لایه‌بندی عمدتاً به دلیل حضور اکسیدهای آهن مختلف در لایه‌ها در اثر درجه اکسیداسیون متفاوت ایجاد شده است.

از دیگر سنگ‌های آذرآواری منطقه، ایگنیمیریت‌ها هستند که ساخت ایگنیمیریتی در نمونه دستی نشان می‌دهند. از جمله بارزترین ویژگی‌های میکروسکوپی ایگنیمیریت‌ها، وجود بافت اوتاکسیتی است (شکل ۳ c). زمینه سنگ، شیشه‌ای و ریزبلور است. ایگنیمیریت‌ها بافت جریانی و جوش‌خورده در زیر میکروسکوپ نشان می‌دهند و حاوی قطعات شارد کشیده و تغییر شکل یافته هستند (شکل ۳ c). قطعات بلوری شامل فلدسپاهای پلازیوکلاز و سانیدین، کوارتز و بیوتیت اپاسیتی شده هستند. در ایگنیمیریت‌ها، تجزیه فلدسپارها به کلسیت و سریسیت متداول است. ایگنیمیریت‌ها عموماً ترکیب ریولیتی دارند.

گدازه‌های اسیدی در زیر میکروسکوپ بافت پورفیری و زمینه فلزیتیک دارند (شکل ۳ d). بافت میکرولیتی نیز در برخی مقاطع دیده می‌شود. بلورهای درشت شامل پلازیوکلاز، کوارتز، سانیدین و کانی‌های مافیک هورنبلند و بیوتیت هستند. درشت بلورها در یک زمینه‌ای از کانی‌های فوق، کوارتز، فلدسپار و شیشه تبلور یافته قرار دارند. پلازیوکلازها عمدتاً منطقه‌بندی ترکیبی دارند و گاهی سریسیتی و سوسوریتی شده‌اند. بر اساس بررسی‌های میکروسکوپی پلازیوکلازها عمدتاً ترکیب الیگوکلاز دارند. بلورهای آمفیبیول و بیوتیت اغلب اپاسیتی هستند و گاهی با کلریت و کانی‌های ثانویه جای‌گزین شده‌اند (شکل ۳ d). کانی‌های کمیاب آپاتیت، زیرکن به‌همراه کانی‌های اپاک نیز در مقاطع دیده می‌شوند. بر اساس مشاهدات میکروسکوپی و صحرایی، می‌توان گدازه‌های اسیدی را به انواع غنی از پلازیوکلاز و آلکالی فلدسپار

تقسیم‌بندی کرد. گدازه‌های غنی از پلازیوکلاز ترکیب داسیتی دارند؛ در حالی که گدازه‌های غنی از آلکالی فلدسپار ترکیب ریولیتی را نشان می‌دهند.

آندرزیت بازالت‌ها و آندزیت‌ها

آندرزی بازالت‌ها و آندزیت‌ها بافت‌های پورفیری، گلومروبورفیری، میکرولیتی و آمیگدالوئیدال دارند. این سنگ‌ها عموماً فنوکریست‌هایی از پلازیوکلاز، کلینوپیروکسن و اشکال دروغینی از اولیوین‌های ایدینگسیتی شده در زمینه‌ای از کانی‌های فوق و شیشه کلریتی و دوبتره شده دارند (شکل ۳). در زمینه، کانی‌های اپاک با فراوانی زیاد دیده می‌شوند. میکرولیت‌های زمینه گاهی بافت جربانی نشان می‌دهند. پلازیوکلازهای فنوکریست عموماً منطقه‌بندی ترکیبی نشان می‌دهند و این بلورها دامنه ترکیبی از بیتونیت تا آندزین دارند. این بلورها گاهی به طور بخشی سربیتی و سوسوریتی شده‌اند. برخی درشت بلورهای پلازیوکلاز بافت غربالی دارند (شکل ۳f). بلورهای کلینوپیروکسن عمدتاً ترکیب اوژیت دارند و گاهی با کلریت و کلسیت جای‌گزین شده‌اند. بلورهای اولیوین عمدتاً ایدینگسیتی شده هستند و با کانی‌های ثانویه سرپنتین، کلریت و کلسیت جای‌گزین شده‌اند. در برخی مقاطع نازک آمیگدال‌هایی پر شده از کلسیت، کلریت، سیلیس و اپیدوت دیده می‌شوند. در زمینه این سنگ‌ها کلریت و کربنات فراوان رشد کرده است.

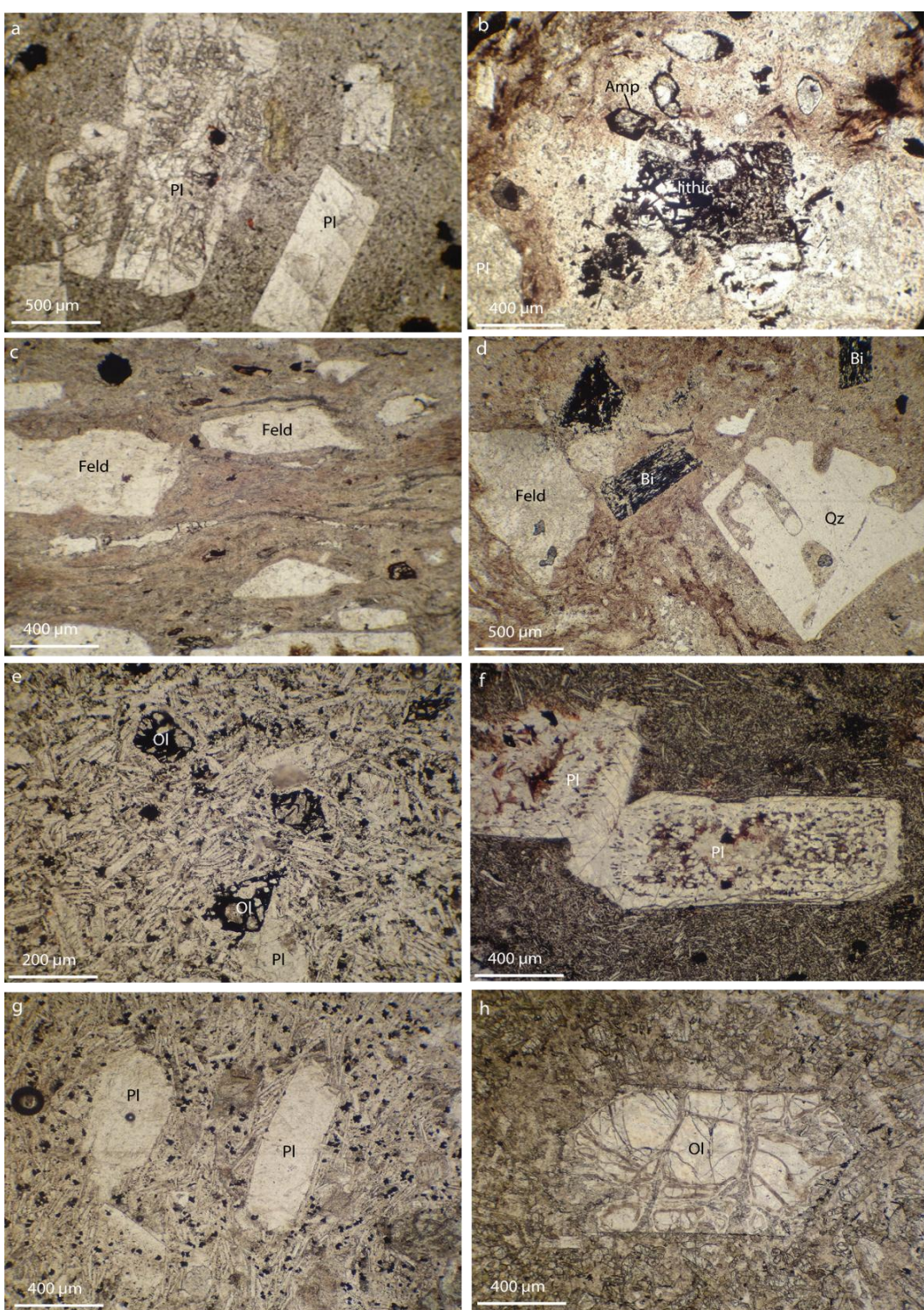
دایک‌ها

دایک‌ها به انواع بازالتی و اولیوین بازالتی قابل تفکیک هستند. دایک‌های بازالتی حاوی بافت پورفیری در زمینه‌ای میکرولیتی، اینترگرانولار و اینترسرتال هستند (شکل ۳g). درشت بلورها عمدتاً شامل بلورهای پلازیوکلاز هستند که در زمینه‌ای از بلورهای پلازیوکلاز، کلینوپیروکسن و شیشه کلریتی شده قرار دارند. پلازیوکلازها عمدتاً غنی از مؤلفه آنورتیت بوده است و گاهی سوسوریتی هستند. مقاطع مربوط به این سنگ‌ها گاهی زمینه کربناتی و کلریتی دارند. این سنگ‌ها حاوی کانی‌های کمیاب آپاتیت و اپاک هستند.

دایک‌های اولیوین بازالتی حاوی درشت بلورهای اولیوین و کلینوپیروکسن در یک زمینه‌ای از بلورهای پلازیوکلاز، اولیوین، کلینوپیروکسن و شیشه کربناتی و کلریتی هستند (شکل ۳h). اولیوین‌ها با سرپنتین، کلریت و کلسیت جای‌گزین شده‌اند و فقط در بخش‌های مرکزی آثاری از این بلورها باقی‌مانده است. پلازیوکلازها با سریسیت و کربنات جای‌گزین شده‌اند. کلریت و کربنات در این سنگ‌ها به طور ثانویه توسعه یافته است.

ژئوشیمی

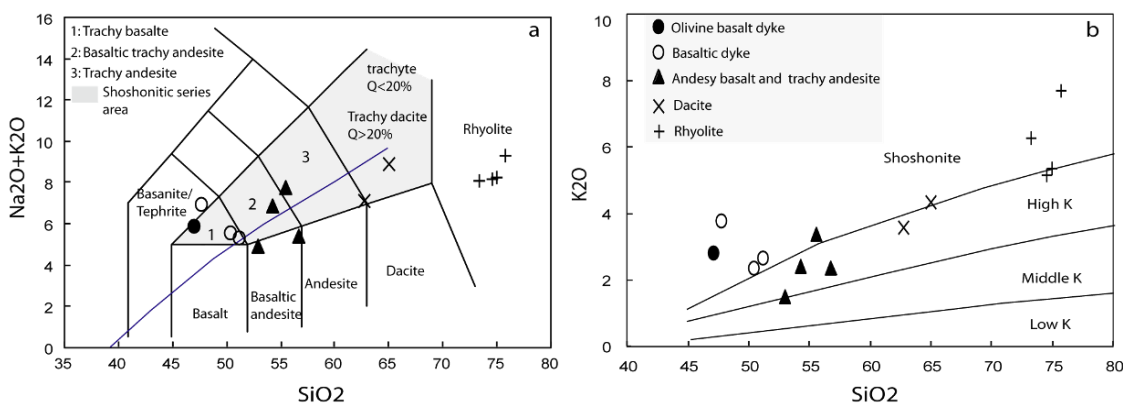
برای ارزیابی ویژگی‌های ژئوشیمیایی، تعداد ۱۴ نمونه از آن‌ها انتخاب و برای عناصر اصلی و کمیاب و نادر خاکی تجزیه شدند. نتایج تجزیه‌های نمونه‌های بررسی شده در جدول ۱ ارائه شده است. تعداد چهار نمونه از ریولیت‌ها، دو نمونه از داسیت‌ها، چهار نمونه از آندزیت بازالت‌ها و آندزیت‌ها و سه نمونه از دایک‌های بازالتی و یک نمونه از دایک‌های اولیوین بازالتی تجزیه شدند. نمونه‌های بررسی شده دارای دامنه SiO_2 وسیعی هستند (۴۶-۷۵٪Wt%). به‌طوری‌که، در نمودار [۱۸] دامنه وسیعی از ترکیب تراکی بازالت، بازانیت تا داسیت و ریولیت را نشان می‌دهند (شکل ۴a). چنان‌که در این نمودار مشاهده می‌شود، اغلب نمونه‌های مربوط به سنگ‌های ائوسن ماهیت ساب آلکالن و کالک آلکالن دارند،



شکل ۳. تصاویر میکروسکوپی از واحدهای مختلف سنگی (a) گدازه‌های آندزیتی با بافت پورفیری و فنوکریست‌های پلازیوکلاز، (b) سنگ‌های توفی با بافت آذرآواری و حاوی قطعات سنگی و قطعاتی از بلورهای پلازیوکلاز و آمفیبول اپاسیتی، (c) بافت ائوتاکسیتی در ایگنیمبریت‌ها، (d) گدازه‌های اسیدی با بلورهای بیوتیت سوخته و کوارتز و فلدسپار در زمینه فلزیتیک، (e) سنگ‌های آندزی بازالتی با فنوکریست اولیوین در زمینه ای بلورهای پلازیوکلاز و شیشه کلربیتی شده، (f) بافت غربالی در فنوکریست پلازیوکلاز و زمینه متتشکل از شیشه و میکروولیت‌های پلازیوکلاز در تراکی آندزیت‌ها، (g) بافت پورفیری در دایک‌های بازالتی با فنوکریست پلازیوکلاز، (h) فنوکریست اولیوین در دایک‌های اولیوین بازالتی

در حالی که نمونه‌های دایک‌ها ماهیت آلکالن نشان می‌دهند. اغلب نمونه‌ها، میزان $Mg\#$ و MgO و عناصر سازگار کمتر از ماغماهای نشأت گرفته از گوشه‌دارند. این در حالی است که، نمونه تجزیه شده مربوط به اولیوین بازالت‌ها میزان MgO ۱۲,۲% و $Mg\#$ ۰,۶۴% دارد که نشان‌گر تبلور از یک ماغمای اولیه گوشه‌ای است.

دایک‌های اولیوین بازالتی TiO_2 کم (۰,۶۴% wt) دارند. در حالی که، دایک‌های بازالتی و گدازه‌های آندزیت بازالتی TiO_2 زیادی دارند (۱,۴% wt) (جدول ۱). نمونه‌های بررسی شده، در نمودار K_2O در مقابل SiO_2 [۱۹] عمدتاً در محدوده کالک آلکالن پتابسیم زیاد قرار دارند (شکل ۴a). این در حالی است که، دایک‌ها در محدوده شوشوونیتی قرار دارند. نسبت K_2O/Na_2O در سنگ‌های مختلف متغیر است و در داسیت‌ها و ریولیت‌ها بیش از یک و در آندزیت بازالت‌ها و آندزیت‌ها اندک و کمتر از ۰/۷۵ و در دایک‌ها متغیر و بین ۰/۷ تا ۱/۱۷ در تغییر است (جدول ۱). در نمودارهای هارکر (شکل ۵) نمونه‌های بررسی شده، روندهای مختلفی نشان می‌دهند. به‌طوری که، نمونه‌های مربوط به سنگ‌های فلسيک (ريوليت‌ها و داسیت‌ها) خارج از روندهای مربوط به نمونه‌های سنگ‌های مافیک آندزیتی و آندزیت بازالتی قرار دارند. اين امر، بهخصوص در نمودارهای هارکر دیده می‌شود، دایک‌ها روندهایی کاملاً متمایز نسبت به سنگ‌های آتشفشاری اثوسن نشان می‌دهند. میزان LOI در نمونه‌های بررسی شده تقریباً کم است، ولی در دایک‌ها به دلیل تأثیر دگرسانی پروپیلیتی و دوبتره شدن شیشه زمینه، میزان LOI زیاد است (۵-۱۰% wt). به‌این دلیل، اکسیدهای اصلی برای استفاده در نمودارها به ۱۰۰ رسانده شده است. نمونه‌های مربوط به ریولیت‌ها و داسیت‌ها دارای نسبت $Al_2O_3/CaO+Na_2O+K_2O$ کمتر از ۱/۱ دارند و در محدوده سنگ‌های متاآلومین قرار می‌گيرند (جدول ۱). حضور کانی‌های تیره هورنبلند و بیوتیت و کانی‌های مگنتیت و آپاتیت، نشان‌دهنده متاآلومینوس بودن ریولیت‌ها و داسیت‌های بررسی شده است.



شکل ۴. a) نمودار مجموع آلکالی‌ها در مقابل سیلیس [۱۸] و موقعیت نمونه‌ها در این نمودار، b) نمودار K_2O در مقابل سیلیس [۱۹] و قرار گیری نمونه‌ها در محدوده کالک آلکالن و شوشوونیتی

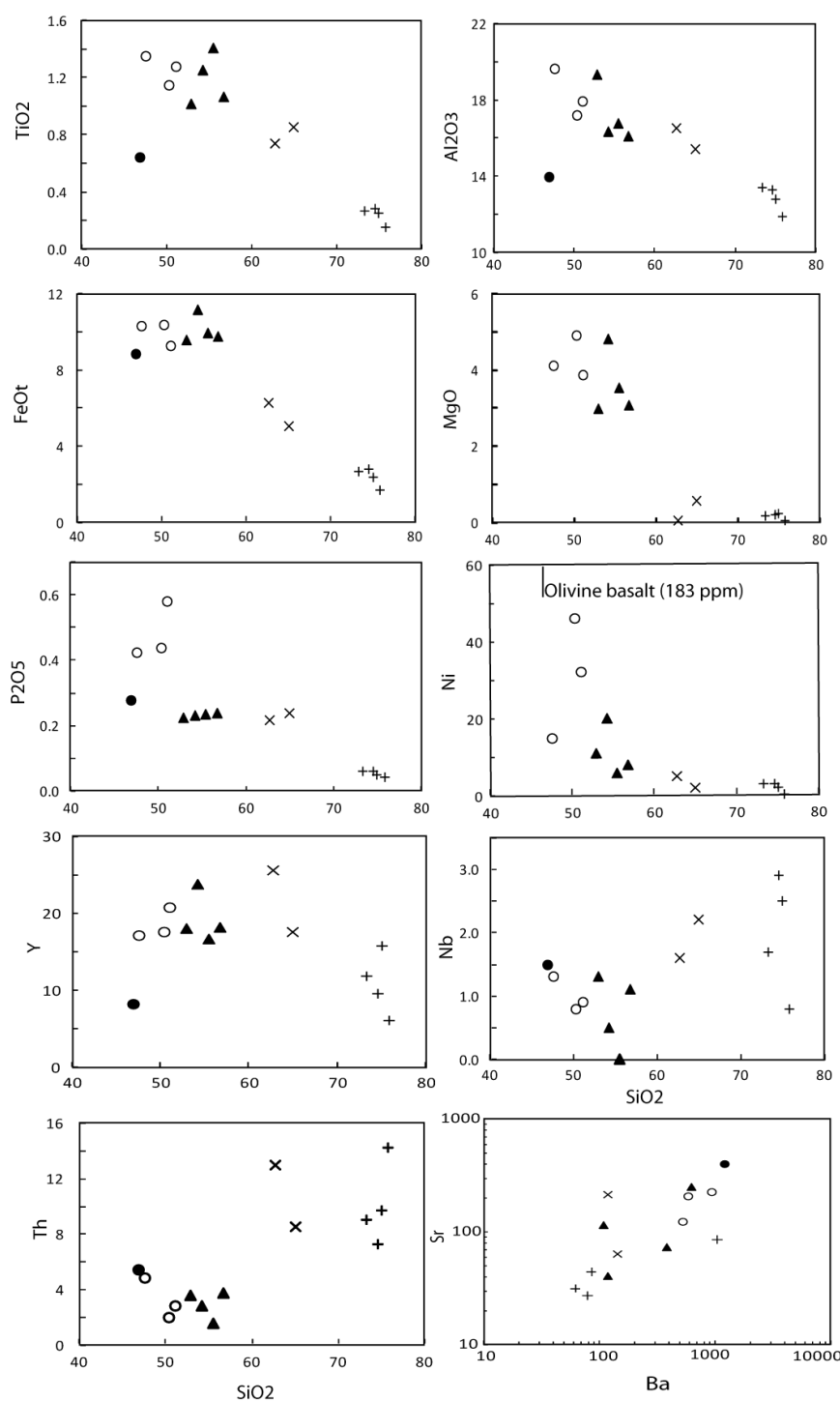
جدول ۱. نتایج تجزیه شیمیایی نمونه‌های بررسی شده از شمال شهرستان به

نوع سنگ	Lower and upper limit	رویلیت	رویلیت	رویلیت	رویلیت	دادسیت	دادسیت
SiO_2	۰,۰-۱-۱۰۰	۷۲,۷۵	۷۴,۶۸	۴۳/۷۳	۷۱,۵۲	۵۹,۳۵	۶۲,۱۹
TiO_2	۰,۰-۱-۱۰۰	۰,۲۷	۰,۱۴	۰,۲۴	۰,۲۶	۰,۵۹	۰,۸۱
Al_2O_3	۰,۰-۱-۱۰۰	۱۲,۹۳	۱۱,۶۹	۱۲,۵۵	۱۳,۱	۱۵,۶۳	۱۴,۷۸
$\text{Fe}_2\text{O}_3^{\text{f}}$	۰,۰-۱-۱۰۰	۲,۶۱	۱,۶۶	۲,۳۲	۲,۶۱	۵,۳۶	۴,۸۱
MgO	۰,۰-۱-۱۰۰	۰,۲۱	۰,۰۶	۰,۲۴	۰,۱۸	۰,۰۶	۰,۵۴
MnO	۰,۰-۱-۱۰۰	۰,۳	۰,۷	۰,۳	۰,۶	۰,۵۳	۰,۱
CaO	۰,۰-۱-۱۰۰	۰,۵۷	۰,۹۱	۰,۹	۱,۸۱	۵,۴۳	۳,۶۳
Na_2O	۰,۰-۱-۱۰۰	۳,۰۱	۱,۵۹	۲,۸۹	۱,۸۱	۳,۷۶	۴,۳۸
K_2O	۰,۰-۱-۱۰۰	۴,۹۸	۷,۰۵	۵,۲۲	۶,۱۲	۳,۳۷	۴,۱۴
P_2O_5	۰,۰-۱-۱۰۰	۰,۵۱	۰,۳۱	۰,۴۱	۰,۰۶	۰,۲	۰,۲۲
LOI		۱,۰۶	۱,۰۷	۱,۵۹	۲,۳۳	۲,۳۴	۲,۵۵
ppm							
Sc	۱-۱-۱۰۰	۴	۲	۴	۴	۲۴	۱۵
V	۲-۱-۱۰۰	۲۲	۵	۲۲	۱۷	۱۴۴	۱۲۵
Cr	۲-۱-۱۰۰	۱۴	۶	۹	۶	۶	۴
Co	۰,۰-۱-۱۰۰	۱,۸	۰,۷	۱,۹	۲,۲	۱۰,۳	۳,۸
Ni	۰,۰-۱-۱۰۰	۳	۲	۲	۳	۵	۲
Cu	۰,۰-۱-۱۰۰	۵	۳,۸	۳,۹	۵	۲۷,۸	۷,۹
Zn	۰,۰-۱-۱۰۰	۲۲,۹	۵۳,۷	۳۷,۳	۹۹	۷۲	۱۱۸
Ga	۰,۰-۰-۱-۱۰۰	۲,۷۵	۲,۰۴	۳,۰۵	۵,۳۸	۶,۴۱	۲,۵۵
As	۰,۰-۰-۱-۱۰۰	۵,۳	۰,۹	۱۱,۶	۷,۷	۷,۷	۸
Rb	۰,۰-۱-۱۰۰	۲۶,۵	۲۶,۱	۲۲,۳	۵۲,۸	۳۷,۶	۱۰,۶
Sr	۰,۰-۱-۱۰۰	۲۱,۱	۸۴,۵	۴۲,۷	۲۷	۱۴۴	۱۱۹
Y	۰,۰-۰-۱-۱۰۰	۹,۵۲	۶,۳	۱۵,۸	۱۱,۸	۲۵,۵	۱۷,۵
Zr	۱-۱-۱۰۰	۱۱	۴	۹	۵	۶۹	۳۷
Nb	۰,۰-۰-۰-۱-۱۰۰	۲,۹	۰,۸	۲,۵	۱,۷	۱,۶	۲,۲
Cd	۰,۰-۰-۱-۱۰۰	۰,۰۶	۰,۲۶	۰,۰۷	۰,۱۶	۰,۱۵	۰,۳۹
Cs	۰,۰-۱-۱۰۰	۳,۶	۰,۳	۲,۳	۸	۴,۷	۱,۱
Ba	۰,۰-۰-۱-۱۰۰	۶۲,۴	۱۰,۶۰	۸۵,۵	۷۹,۷	۶۳,۶	۲۱۴
La	۰,۰-۰-۱-۱۰۰	۱۶,۴	۲۴,۴	۲۳,۳	۱۵,۹	۲۴,۵	۲۷,۱
Ce	۰,۰-۱-۱۰۰	۲۵,۳	۴۸,۵	۴۷,۶	۳۵,۷	۵۶,۸	۶۰
Pr	۰,۰-۰-۱-۱۰۰	۷,۹۶	۵,۲۸	۷,۷۲	۷,۱۵	۶,۸۶	۸,۷۵
Nd	۰,۰-۰-۲-۱-۱۰۰	۲۸,۸	۱۸,۳	۲۷,۸	۲۶,۲	۲۵,۲	۳۴
Sm	۰,۰-۰-۱-۱۰۰	۵,۶	۳,۲	۵۹,۵	۵,۱۹	۵,۰۴	۷,۰۴
Eu	۰,۰-۰-۲-۱-۱۰۰	۰,۹	۰,۶	۱,۰۱	۰,۸۴	۱,۰۸	۱,۷۴
Gd	۰,۰-۰-۱-۱۰۰	۶,۴۹	۴,۱۵	۶,۶۱	۵,۴	۶,۲۲	۷,۲۲
Tb	۰,۰-۰-۲-۱-۱۰۰	۰,۸۴	۰,۷۹	۰,۸۵	۰,۶۶	۰,۸۲	۱,۰۸
Dy	۰,۰-۰-۲-۱-۱۰۰	۴,۹۳	۱,۴۹	۰,۱۴	۳,۶۴	۴,۸۳	۶,۲۲
Ho	۰,۰-۰-۲-۱-۱۰۰	۱,۰۹	۰,۷۷	۱,۱۷	۰,۸۱	۱,۰۸	۱,۳۵
Er	۰,۰-۰-۱-۱۰۰	۲,۸۹	۹۷,۰	۳,۴۴	۲,۳۵	۳,۱۷	۳,۹۱
Tm	۰,۰-۰-۲-۱-۱۰۰	۰,۵۶	۰,۱۴	۰,۵۵	۰,۴۱	۰,۵	۰,۶۲
Yb	۰,۰-۰-۱-۱۰۰	۳,۷۹	۰,۹۹	۳,۵۷	۲,۶۹	۳,۲۲	۳,۸۵
Lu	۰,۰-۰-۲-۱-۱۰۰	۰,۵۸	۰,۱۴	۰,۵۷	۰,۳۳	۰,۴۲	۰,۶۳
Ta	۰,۰-۱-۱۰۰	۰,۰۲	۰,۰۳	۰,۰۲	۰,۰۲	۰,۰۷	۰,۰۲
W	۰,۰-۱-۱۰۰	۰,۳	۰,۵	۰,۵	۰,۶	۰,۵	۰,۶
Pb	۰,۰-۰-۱-۱۰۰	۱۶,۸	۸,۴	۳۰,۵	۲۹	۵,۱	۶۴,۳
Th	۰,۰-۰-۲-۱-۱۰۰	۷,۲۶	۱۴,۲	۹,۷۲	۹,۰۱	۱۳	۸,۵۶
U	۰,۰-۰-۲-۱-۱۰۰	۱,۸	۰,۸۴	۱,۰۶	۱,۴۱	۳,۷	۲,۲۵
Hf	۰,۰-۰-۲-۱-۱۰۰	۰,۳۷	۰,۱۱	۰,۳۲	۰,۱۸	۱,۶۹	۱,۰۷
Sum REE		۱۱۶,۷	۱۰۸,۷۲	۱۳۴,۸۲	۱۰۷,۳۷	۱۳۹,۹۵	۱۶۳,۵۲
A/CNK		۱,۱۳	۰,۹۲	۱,۰۴	۱,۰۱	۰,۸۱	۰,۸
$\text{K}_2\text{O}/\text{Na}_2\text{O}$		۱,۶۵	۴,۴۴	۱,۸	۳,۳۸	۱	۰,۹۴
Total alkali		۸,۲	۹,۳۸	۸,۲۸	۸,۱۲	۷,۱۲	۸,۹۲
Mg# ^a		۰,۱۳	۰,۰۷	۰,۱۷	۰,۱۲	۰,۰۲	۰,۱۸
Eu/Eu* ^b		۰,۴۵	۰,۵	۰,۵۱	۰,۴۸	۰,۵۸	۰,۷۴
$\text{La}_{\text{n}}/\text{Yb}_{\text{n}}$		۲,۸۹	۱۶,۴۸	۴,۳۴	۳,۹۵	۵,۰۸	۴,۷

^a Mg# = mol MgO/(MgO + FeO).^b Eu* = $\sqrt{\text{Eu}/(\text{Sm}^*\text{Gd})}$

ادامه جدول ۱

نوع سنگ	آندزیت بازالت	آندزیت بازالت	آندزیت بازالت	آندزیت بازالت	آندزیت بازیک	دایک بازیک	دایک بازیک	دایک بازیک	اوپلوبین بازالت
SiO_2	۵۰.۹۱	۴۹.۷۶	۴۸.۷۲	۵۲.۱۳	۴۳.۵۲	۴۷.۱۳	۴۶.۳	۴۳.۴۶	
TiO_2	۱.۲۹	۱.۱۳	۰.۹۳	۰.۹۷	۱.۲۳	۱.۱۷	۱.۴	۰.۵۹	
Al_2O_3	۱۰.۴۱	۱۴.۸۵	۱۷.۸۲	۱۴.۷۷	۱۷.۹۸	۱۶.۶۵	۱۵.۷۳	۱۲.۹۳	
Fe_2O_3^t	۱۴.۹	۱۰.۱۴	۸.۸۴	۸.۹۷	۹.۴۴	۸.۵۷	۹.۴۹	۸.۲۱	
MgO	۲.۲۵	۴.۳۸	۲.۷۵	۲.۸۳	۳.۷۷	۳.۵۷	۴.۴۸	۱۱.۳۱	
MnO	۰.۳۱	۰.۱۶	۰.۱۳	۰.۱۳	۰.۱۷	۰.۱۷	۰.۱۷	۰.۱۷	۱۶..
CaO	۴.۰۴	۴.۴۳	۸.۰۸	۶.۸۶	۸.۵۹	۹.۵۷	۸.۹۶	۱۰.۱۴	
Na_2O	۴.۰۸	۴.۱۱	۳.۱۸	۲.۸۲	۲.۹۳	۲.۵۴	۲.۹۹	۲.۹۱	
K_2O	۳.۰۹	۲.۱۶	۱.۳۶	۲.۱۶	۳.۴۴	۲.۴۱	۲.۱۲	۲.۶	
P_2O_5	۰.۲۱	۰.۲۱	۰.۲	۰.۲۱	۰.۳۸	۰.۵۳	۰.۴	۰.۲۵	
LOI	۵.۴۸	۴.۸۴	۱.۲۶	۳.۰۶	۱۰.۲۲	۸.۲۱	۱۰.۹	۹.۷۳	
<i>ppm</i>									
Sc	۱۹	۲۲	۱۴	۲۲	۱۹	۲۵	۲۴	۱۰	
V	۱۹.۰	۲۴.۹	۲۳.۸	۲۸.۵	۲۳.۸	۲۳.۷	۲۵.۶	۱۷.۹	
Cr	۹	۹.۰	۹	۱۲	۱۲	۶۴	۱۰.۸	۷.۰	
Co	۲۱.۸	۲۸.۴	۲۰.۳	۲۰.۸	۲۱	۲۱.۵	۲۵.۹	۲۸.۱	
Ni	۶	۲۰	۱۱	۸	۱۵	۲۲	۴۶	۱۸.۳	
Cu	۱۲.۶	۳۲.۴	۸.۰	۱۷.۶	۳۱.۴	۳۴.۶	۴۶.۶	۶۵.۱	
Zn	۱۱.۳	۱۱.۷	۸.۱.۴	۷۳.۸	۶۳	۱۱۲.۰	۱۱.۳	۶۸.۳	
Ga	۱۴	۱۳	۱۰.۴	۸.۳	۹.۵	۱۱.۴	۹.۰.۴	۸.۷۵	
As	۸.۸	۵.۴	۱.۳	۴.۳	۲.۳	۳۸.۸	۱۱.۵	۲۳.۱	
Rb	۲۳.۱	۶.۶	۶.۸	۱۷	۱۱۲	۳۷.۳	۴.۴	۶۱.۶	
Sr	۶۲.۲	۱۲.	۳۸.۶	۱۰.۸	۵۸.۴	۵۳.۰	۹۵۲	۱۲۳.۰	
Y	۱۶.۷	۲۳.۷	۱۸	۱۸.۲	۱۷.۱	۲۰.۷	۱۷.۶	۸.۱۵	
Zr	۲۱	۱۹	۳۳	۳۱	۱۱۱	۲۰	۱۲	۲۴	
Nb	۰.۵	۰.۵	۱.۳	۱.۱	۱.۳	۰.۹	۰.۸	۱.۸	
Cd	۰.۳۵	۰.۰۷	۰.۲۷	۰.۱	۰.۱۳	۱.۵۱	۰.۶۲	۰.۱۵	
Cs	۹.۳	۰.۹	۳.۵	۲.۳	۱۵.۷	۱۰.۱	۴.۶	۲۷.۴	
Ba	۲۵.۰	۴.۰.۱	۷۲.۳	۱۱۴	۲۰.۷	۱۲۲	۲۲۴	۳۹۶	
La	۱۸.۲	۱۸.۲	۱۷.۴	۱۶.۷	۲۴.۲	۲۱.۸	۲۴.۸	۲۵.۲	
Ce	۳۷.۶	۴۱.۲	۳۷.۵	۳۶.۵	۵۱.۲	۶۸.۴	۵۲.۱	۶۵.۴	
Pr	۵.۳	۴.۱۹	۳.۳۸	۶.۳۴	۶.۵۹	۸.۳۸	۶.۳	۸.۹۳	
Nd	۲۱.۹	۱۷.۸	۱۴	۲۵.۶	۲۶.۶	۲۳	۲۵	۳۰.۸	
Sm	۵۰.۴	۴.۴۴	۳.۲۶	۵۸.۲	۵۶.۱	۶.۶۲	۵.۰.۷	۴.۳۲	
Eu	۱.۶۱	۱.۱۳	۰.۸۸	۱.۴۲	۱.۶۸	۱.۹	۱.۵۱	۱.۲	
Gd	۵.۱۶	۴.۰.۳	۳.۲۳	۵.۷۶	۵.۷۶	۶.۶۸	۵.۲۹	۰.۸۶	
Tb	۰.۸۷	۰.۸۲	۰.۵۸	۱.۰۳	۰.۸۴	۰.۹۵	۰.۷۷	۰.۵۲	
Dy	۵.۱	۴.۹۹	۳.۵۳	۶.۲۳	۴.۷۳	۵.۲۶	۴.۳۲	۲.۹۱	
Ho	۱.۱	۱.۰.۸	۰.۷۹	۱.۴	۱.۰۱	۱.۰.۹	۰.۹۲	۰.۶۱	
Er	۳.۰.۶	۳.۰.۵	۲.۲۸	۴.۰.۵	۲.۸۸	۲.۹۹	۲.۵۶	۱.۶۹	
Tm	۰.۴۶	۰.۴۵	۰.۳۵	۰.۶۴	۰.۴۳	۰.۴۵	۰.۳۸	۰.۲۶	
Yb	۲.۸۵	۲.۷۲	۲.۱۲	۳.۸۹	۲.۶۱	۲.۷۵	۳۹.۲	۱.۵۷	
Lu	۰.۴۴	۰.۴۱	۰.۳۵	۰.۶۵	۰.۴۴	۰.۴۶	۰.۳۹	۰.۳۷	
Ta	۰.۰.۲	۰.۰.۳	۰.۰.۲	۰.۰.۲	۰.۰.۱	۰.۰.۲	۰.۰.۲	۰.۰.۱	
W	۰.۲	۰.۱	۰.۲	۰.۲	<۰.۱	<۰.۱	<۰.۱	۰.۲	
Pb	۳۱	۱۱.۴	۵.۳	۱۷	۳۴.۶	۶۲.۹	۵۸.۵	۹.۷	
Th	۱.۶	۲.۸۲	۳.۶۱	۳.۷۳	۴.۸۷	۲.۷۹	۲.۰۲	۰.۴۶	
U	۰.۴۹	۱.۱۲	۱.۲۵	۱.۰۷	۱.۴۹	۰.۷۹	۰.۲۲	۱.۱۳	
Hf	۰.۵۴	۰.۶۴	۰.۸۷	۱	۰.۳	۰.۴۹	۰.۳۱	۰.۴۱	
Sum REE	۱۰.۸۶	۱۰.۴۱	۸.۹۶۵	۱۱۶.۳	۱۳۴.۵۸	۱۷۰.۷۳	۱۳۱.۸	۱۵۹.۷۶	
A/CNK	۰.۸۸	۰.۸۶	۰.۸۳	۰.۷۵	۰.۷۴	۰.۶۸	۰.۶۶	۰.۴۹	
$\text{K}_2\text{O}/\text{Na}_2\text{O}$	۰.۷۵	۰.۵۲	۰.۴۲	۰.۷۶	۱.۱۷	۰.۹۴	۰.۷۱	۰.۱۹	
Total alkali	۷.۸۲	۶.۹۱	۴.۹۴	۵.۴۳	۶.۹۸	۵.۳۷	۵.۵۹	۵.۹۶	
Mg ^{#a}	۰.۴۱	۰.۴۶	۰.۳۸	۰.۰.۲	۰.۴۴	۰.۴۵	۰.۴۸	۰.۷۳	
Eu/Eu ^{*b}	۰.۹۷	۰.۸۲	۰.۸۳	۰.۷۵	۰.۹	۰.۸۷	۰.۸۹	۰.۷۱	
$\text{La}_{\text{p}}/\text{Yb}_{\text{p}}$	۴.۲۷	۴.۴۷	۵.۴۹	۲.۸۷	۶.۲	۷.۷۳	۶.۹۳	۱۴.۹۹	



شکل ۵. نمودارهای هارکر و عناصر کمیاب در مقابل سیلیس و همچنین استرانسیوم در مقابل باریم. چنان‌که در این نمودارها دیده می‌شود، نمونه‌ها از روند تفریق پیروی نمی‌کنند. برای توضیحات به متن مراجعه شود. علاوه همانند شکل ۴ است

در نمودارهای عنکبوتی، نمونه‌های بررسی شده، غنی‌شدگی از عناصر LILE و تهی‌شدگی از عناصر HFSE نشان می‌دهند و در اغلب نمونه‌ها، الگوی کوهانی شکل در فراوانی عناصر کمیاب، عادی‌سازی شده نسبت به گوشه اولیه، دیده می‌شود (شکل ۶). نمونه‌های مربوط به داسیت‌ها و ریولیت‌ها علاوه بر تهی‌شدگی از عناصر Nb, Ta, HFSE ()

Ti ، گودی‌هایی نیز در عناصر Sr و Ba و همچنین Zr نشان می‌دهند. نمونه‌های بررسی شده، غیر از اولیوین بازالت‌ها، آنومالی مثبت سرب نشان می‌دهند. همانند داسیت‌ها و ریولیت‌ها، الگوی عناصر در آندزیت بازالت‌ها و آندزیت‌ها، دایک‌های بازالتی و اولیوین بازالتی گودی‌هایی در $Nb-Ta$ و Zr نشان می‌دهند.

نمونه‌های بررسی شده، غنی‌شدگی از عناصر LREE نسبت به HREE نشان می‌دهند و نسبت La/Yb در آن‌ها متغیر و زیاد است (جدول ۱). به طوری که، این نسبت در ریولیت‌ها بین $2/8$ تا $4/3$ (به غیر از یک نمونه که میزان زیاد $16/4$ نشان می‌دهد) و در داسیت‌ها بین $4/7$ تا $5/5$ آندزیت‌ها و آندزیت بازالت‌ها مابین $2/8$ تا $5/4$ ، دایک‌های بازالتی بین $2/7$ تا $7/7$ و اولیوین بازالت‌ها $14/9$ است. همچنین نسبت Eu/Eu^* در سنگ‌های مختلف بررسی شده، متفاوت است، به طوری که در ریولیت‌ها و داسیت‌ها به ترتیب $0/45$ - $0/51$ و $0/58$ - $0/74$ ، در آندزیت‌ها و آندزیت بازالت‌ها $0/75$ - $0/97$ و در اولیوین بازالت‌ها $0/87$ - $0/90$ است (جدول ۱).

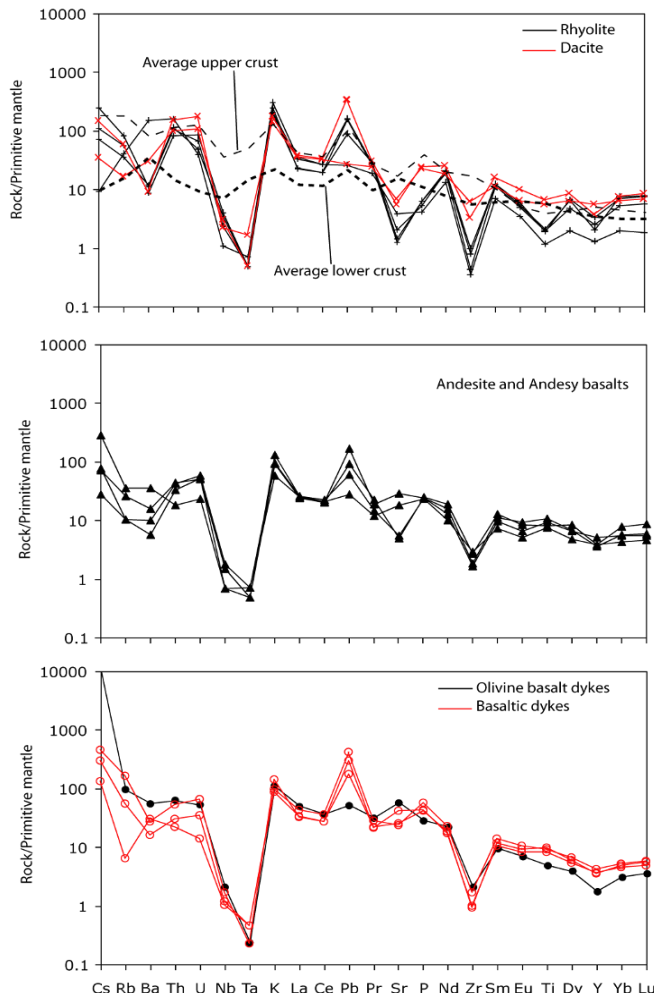
بحث

پتروژنز

سنگ‌های بررسی شده، در واقع بخشی از ولکانیسم ایران مرکزی در زمان ترشیاری هستند. چنان‌که ذکر شد، رخنمون‌های سنگی منطقه شامل نهشت‌های وسیع آذرآواری و گدازه‌های فلزیک به همراه گدازه‌های بازیک و همچنین گدازه و آذرآواری‌های با ترکیب میانه هستند. این نهشت‌های بازیک بازالتی و اولیوین بازالتی قطع می‌شوند. نمونه‌های مربوط به اثوسن، بر اساس ویژگی‌های ژئوشیمیایی، ماهیت کالک آلکالن دارند. اغلب نمونه‌های بررسی شده، ویژگی‌های ماغماهای مرتبط با محیط‌های فرورانشی و متأثر از پوسته قاره‌ای را نشان می‌دهند. این امر، به خصوص در نمودارهای عنکبوتی (شکل ۶)، با حضور آنومالی‌های منفی در $Nb-Ta-Ti$ مشخص می‌شود. این سنگ‌ها، الگوی غنی‌شدگی از عناصر LILE و غنی‌شدگی از عناصر LREE نسبت به HREE نشان می‌دهند. غنی‌شدگی از عناصر کمیاب ناسازگار در سنگ‌های منطقه را می‌توان به واسطه غنی‌شدگی در منبع گوشت‌های، درجه کم ذوب بخشی، تفریق بلوری و یا آلدگی پوسته‌ای توجیه کرد [۲۱]. پژوهش‌گرانی از جمله [۲۲] و [۲۳] بیان کرده‌اند که غنی‌شدگی از LILE در لیتوسفر گوشت‌های و تهی‌شدگی از Ti و Nb به واسطه متاسوماتیسم با سیالات و مذاب‌هایی که از پوسته اقیانوسی و رسوبات همراه در حال فرورانش ناشی شده‌اند، به وجود می‌آید. در حقیقت، باقی‌ماندن Ti و Nb در کانی‌های مانند روتیل، تیتانومگنتیت، اسفن و ایلمنیت، می‌تواند باعث کمبود این عناصر در مذاب‌های آبدار شود [۲۴]، [۲۵]. خروج عناصر LILE قطعه فرورونده با مذاب و اضافه شدن آن‌ها به گوشت‌های بالایی، موجب شکل‌گیری بخش متاسوماتیزه گوء گوشت‌های بالای خود می‌شود [۲۱].

بر اساس نظر [۲۶]، گدازه‌های مربوط به مناطق فرورانش با نسبت زیادی از LILE/HFSE و LREE/HFSE و بی‌هنجری منفی Nb ، Ta و گاهی بی‌هنجری منفی در Zr و Ti و Hf مشخص می‌شوند. در نمودار Th/Yb در مقابل Nb/Yb (شکل ۷ a)، نمونه‌های بررسی شده، در محدوده بالای آرایه گوشت‌های قرار دارند. در این نمودار، نمونه‌های سنگ‌های فلزیک و مافیک و دایک‌ها در بالای آرایه گوشت‌های، و در محدوده متأثر از فرایندهای

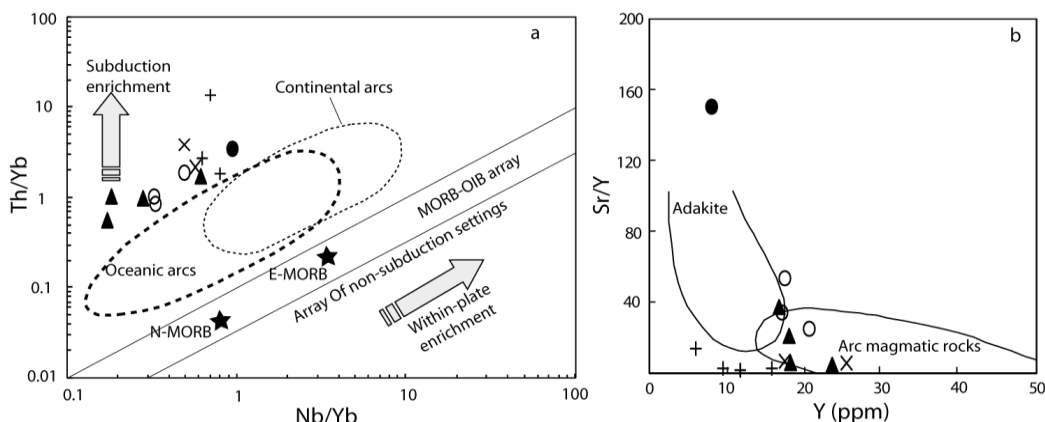
متاسوماتیسم ناشی از فرورانش قرار دارد. در نمودار Sr/Y در مقابل Y ، نمونه‌های بررسی شده، ویژگی‌های ماغماهای نشأت گرفته در محیط‌های قوس آتشفشانی را دارند و در محدوده آداقیت‌ها قرار ندارند. در این نمودار، ریولیت‌ها میزان نسبت Y/Sr خیلی کم و Y کم دارند (شکل ۷b). در ادامه به تفصیل به پتروژنز هر یک از سنگ‌های مختلف موجود در منطقه می‌پردازیم.



شکل ۶. نمودارهای عنکبوتی برای سنگ‌های مختلف منطقه بررسی شده، مقادیر عادی سازی شده نسبت به گوشه‌های اولیه و میانگین پوسته زیرین و بالایی برای مقایسه از [۲۰]

آندرزیت‌ها و آندزیت بازالت‌ها

سنگ‌های آندزیتی و آندزیت بازالتی به صورت روانه‌های گدازه‌ای و نهشت‌های پیروکلاستیک دیده می‌شوند. این سنگ‌ها ویژگی‌های ماغماهای فرورانشی را نشان می‌دهند (اشکال ۶ و ۷). در نمودارهای عنکبوتی، سنگ‌های فوق تهی شدگی از عناصر HFSE و غنی شدگی از عناصر LILE را نشان می‌دهند. چنان‌که در نمودارهای عنکبوتی نیز دیده می‌شود، این سنگ‌ها غنی شدگی از Pb نشان می‌دهد که شاخص ماغماهای نشأت گرفته از پوسته و زون‌های فرورانشی است. دامنه عناصر سازگار و $\#Mg/\text{SiO}_2$ (جدول ۱) این سنگ‌ها نشان‌گر این است که آن‌ها نمی‌توانند مستقیماً از گوشه‌های ایجاد شوند. همچنین، میزان دامنه SiO_2 آن‌ها بر خلاف این است که از منبع صرف پوسته‌ای ایجاد شوند.



شکل ۷. (a) نمودار Nb/Yb در مقابل Th/Yb که نمونه‌های بررسی شده در منابع متأثر از فرایندهای فروزانشی قرار دارند. نمودار و محدوده‌ها از [۲۷]، (b) نمودار Sr/Y در مقابل Y (ppm)، نمونه‌های بررسی شده در محدوده مربوط به ماقماهای قوسی قرار دارند و ماهیت آداسیتی نشان نمی‌دهند. نمودار و محدوده‌ها از [۲۸]

در محیط‌های فروزانشی، سنگ‌های آندزیتی و آندزیتی بازالتی می‌توانند از منابع مختلفی مانند ذوب پوسته اقیانوسی فرورونده، ذوب بخشی پوسته قاره‌ای زیرین، تحول ماقماهای مافیک مشتق شده از گوشته متاسوماتیسم شده در طی فرایندهای AFC و MASH^۱ ایجاد شوند [۱]. دامنه SiO_2 در سنگ‌های آندزیتی و آندزیتی بازالتی مابین ۵۲ الی ۵۷ درصد است. ماقماهای با این میزان دامنه SiO_2 نمی‌توانند از منبع پوسته قاره‌ای زیرین و پوسته اقیانوسی فرورونده ایجاد شوند. در ضمن ماقماهای ایجاد شده از منبع پوسته اقیانوسی فرورونده ویژگی‌های آداسیتی نشان می‌دهند که سنگ‌های منطقه این ویژگی را ندارند. از این رو، سنگ‌های آندزیت بازالتی و آندزیتی بررسی شده می‌توانند از تحول ماقماهای گوشته‌ای طی فرایندهای AFC و MASH ایجاد شوند. این چنین منشأی برای اغلب سنگ‌های آندزیتی در محیط‌های فروزانشی پیشنهاد شده است [۱], [۲۹].

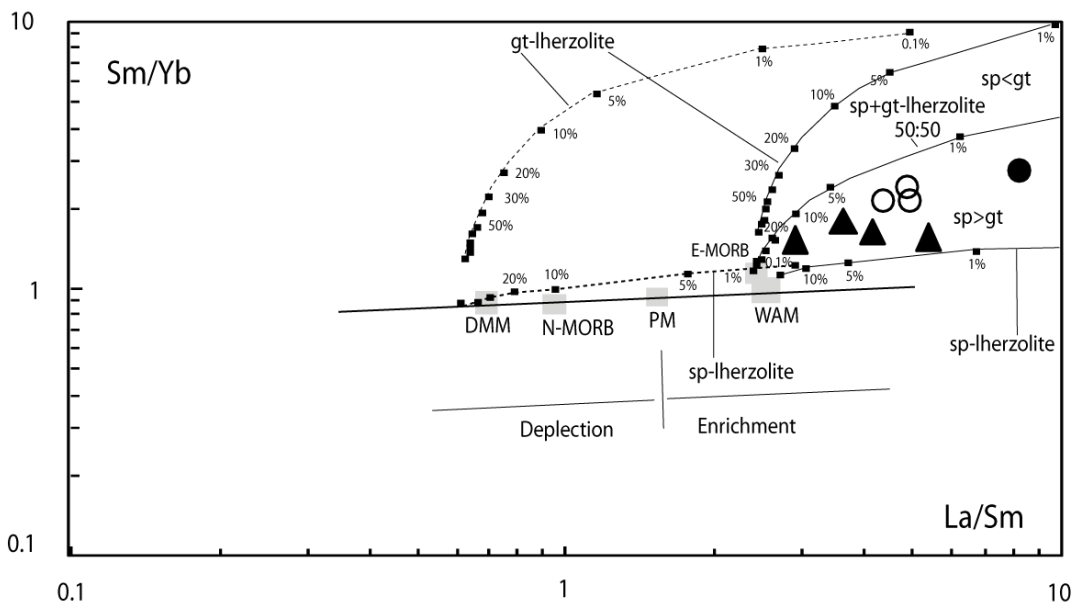
نمونه‌های آندزیتی دارای نسبت‌های La/Nb (< 2) و La/Th (< 2) که شاخص ماقماهای آندزیتی در زون‌های فروزانش هستند [۱]. چنان‌که از نمودارهای هارکر مربوط به این سنگ‌ها برمی‌آید (شکل ۵)، در حین صعود، ماقمای مربوط به سنگ‌های آندزیتی و آندزیت بازالتی فرایند تفریق بلورین، کانی‌های اولیوین، پیروکسن و پلازیوکلаз در مخازن ماقمایی پوسته‌ای از ماقمای مادر آن‌ها تبلور یافته‌اند. تفریق پلازیوکلاز به‌واسطه نسبت کم Eu^*/Eu (0.97 الی 0.90) نیز قابل استنباط است. آنومالی منفی در $\text{Nb}-\text{Ta}$ ممکن است ناشی از باقیماندن این عناصر در کانی‌های ذوب نشده گوشته [۳۰] و یا واکنش بین ماقمای اولیه با پریدوتیت است. تهی‌شدگی از Ti نیز ممکن است به‌وسیله تبلور کانی‌های حاوی اکسید آهن-تیتان کنترل شده گوشته‌ای باشد [۳۱]. تهی‌شدگی از La نیز ممکن است به‌وسیله منشأ گوشته‌ای، از عنصر شدیداً ناسازگار Sm و کمتر ناسازگار برای ارزیابی کانی‌شناسی و درجه ذوب بخشی منشأ گوشته‌ای، از La است. ماقمای ایجاد شده، در پوسته زیرین و در حین عبور از پوسته بالایی، فرایندهای تفریق و آلیش و احتمالاً اختلاط ماقمایی را تحمل کرده است.

برای ارزیابی کانی‌شناسی و درجه ذوب بخشی منشأ گوشته‌ای، از عنصر شدیداً ناسازگار La و کمتر ناسازگار استفاده شده است. La و Sm به‌وسیله کانی‌شناسی منشأ گوشته‌ای (اسپینل و یا گارنت) تحت تأثیر قرار نمی‌گیرند؛ از

1. Assimilation Fractionation contamination

2. Melting-Assimilation-Storage-Homogenization

این رو، اطلاعاتی در مورد ترکیب شیمیایی کلی منشأ ارائه می‌دهند. در حالی که Yb ، به حضور و عدم حضور گارنت در منشأ وابستگی شدیدی دارد؛ از این رو، نسبت‌های عناصر مذکور می‌تواند اطلاعاتی در مورد ترکیب کانی‌شناسی منشأ و نیز میزان ذوب‌بخشی ارائه دهد. با این وصف، نمودار Sm/Yb در مقابل La/Sm برای ارزیابی کانی‌شناسی و درجه ذوب‌بخشی منشأ، ارزیابی شده است [۳۲]. در این نمودار، نمونه‌های آندزیتی و آندزیت بازالتی اوسن در محدوده منشأ ذوب‌بخشی غنی از اسپینل قرار دارند (شکل ۸). اکثر نمونه‌ها در محدوده $10 - 100$ ٪ درجه ذوب‌بخشی منشأ اسپینل لرزولیت قرار گرفته‌اند. از این رو، ماجمای اولیه آندزیت‌ها و آندزیت بازالت‌های اوسن از ذوب‌بخشی یک منشأ اسپینل لرزولیت متاسوماتیسم شده با فرایندهای فرورانش نشأت گرفته است. ماجمای حاصل، سپس در حین صعود، فرایندهای AFC و MASH را تجربه کرده است.



شکل ۸. در مقابل Sm/Yb برای تعیین منشأ و کانی‌شناسی گوشته و درصد ذوب‌بخشی آندزیت بازالت‌ها و دایک‌های بازالتی و اولیوین بازالتی، نمودار پایه [۳۲]

داده‌های داسیتی

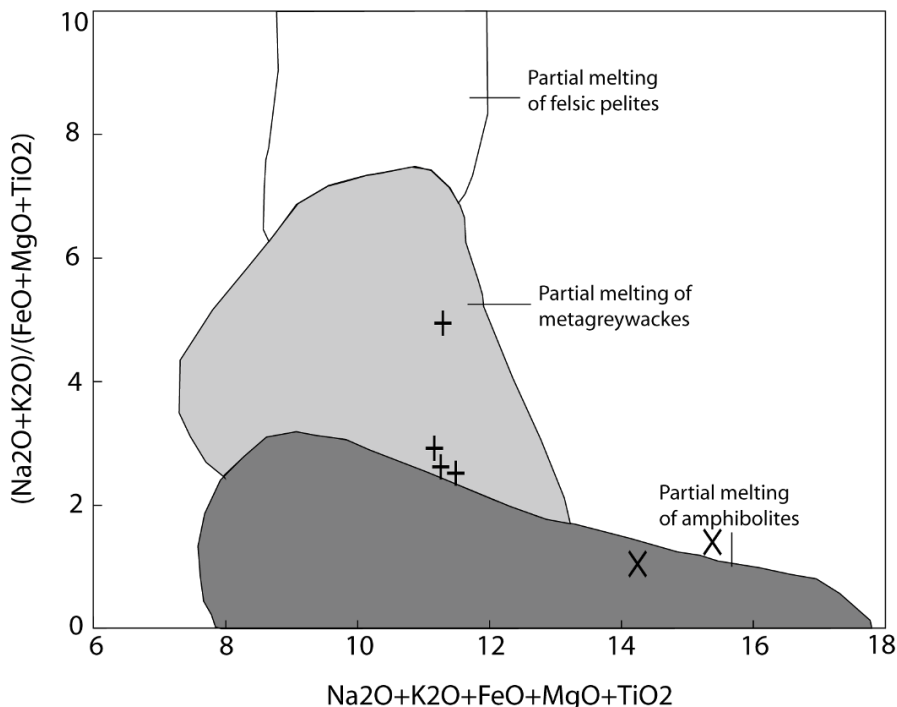
سنگ‌های داسیتی در منطقه همراه با سنگ‌های ریولیتی دیده می‌شوند. این سنگ‌ها سرشت متالومین و ویژگی‌های سنگ‌های فلزیک نوع I را نشان می‌دهند. سنگ‌های داسیتی بررسی شده، می‌توانند از منشأهای مختلفی همانند ذوب‌بخشی پوسته زبرین، ذوب پوسته اقیانوسی فرورونده و یا از تحول ماجماهای آندزیتی و آندزیتی بازالتی ایجاد شوند. حجم محدود سنگ‌های آندزیتی و آندزیت بازالتی در مقایسه با سنگ‌های فلزیک، مخالف فرضیه تشکیل ماجمای مربوط به سنگ‌های فلزیک از تحول ماجماهای مافیک است. این امر، از نمودارهای هارکر نیز قابل استنباط است. به طوری که، در اغلب نمودارهای هارکر، سنگ‌های داسیتی در ادامه روند تحول سنگ‌های آندزیتی و آندزیت بازالتی قرار ندارند (شکل ۵).

میزان بالای عناصر آلکالی در داسیت‌ها (مابین ۹-۷ درصد)، برخلاف این است که آن‌ها از ذوب قطعه فرورانده شده ایجاد شوند. هم‌چنین، با توجه به دامنه MgO و ویژگی‌های ژئوشیمیایی، ماجمای داسیتی نمی‌تواند از ذوب مستقیم

گوشه ایجاد شود. شواهد تجربی ذوب‌بخشی سنگ‌های پوسته‌ای به وسیله [۳۳] اثبات کرد که ماغماهای نوع I کالک آلکالن پتاسیم بالا می‌توانند به وسیله ذوب‌بخشی سنگ‌های متوسط تا مافیک کالک آلکالن و کالک آلکالن پتاسیم بالای آب‌دار تشکیل شوند. ذوب‌بخشی سنگ‌های پوسته‌ای مانند آمفیبولیت، متاگری وک و متاپلیت منجر به تشکیل مذاب‌های متفاوت در شرایط ذوب متفاوت می‌شود [۳۴، ۳۵]. در نمودار پیشنهاد شده برای تمایز پروتولیت منشأ، نمونه‌های داسیتی منطقه عمدتاً در محدوده سنگ‌های مافیک (مانند آمفیبولیت، متاتزالت، متاتونالیت) پلاٹ می‌شوند (شکل ۹).

ریولیت‌ها

چنان‌که ذکر شد، مهم‌ترین مدل‌های منشأی برای تشکیل ماغماهای فلسیک در محیطی قوس آتشفشاری شامل دو گروه (الف) فرآیندهای AFC [۳۶] و (ب) ذوب‌بخشی پوسته زیرین بر اثر گرمای حاصل از ماغماهای مافیک با منشأ عمیق‌تر یا گوشه‌ای است [۳۷]. حجم زیادی از رخنمون‌های موجود در محدوده بررسی شده را نهشته‌های آذرآواری و گدازه‌ای با ترکیب ریولیتی تشکیل می‌دهند. این حجم از سنگ‌های ریولیتی، نمی‌توانند از طریق فرآیند تفریق بلورین ماغماهای مافیک و میانه موجود در منطقه حادث شوند. هم‌چنان‌که از نمودارهای هارکر (شکل ۵) بر می‌آید، این سنگ‌ها در ادامه روند تحول سنگ‌های داسیتی قرار ندارند. میزان SiO_2 بالا و غنی‌شدگی از عناصر ناسازگاری مانند Th و Li، Rb با تشکیل سنگ‌های ریولیتی از طریق فرآیندهای AFC نیست. از این‌رو، برای مبحث پتروژنر این سنگ‌ها باید به دنبال منابع دیگر بود.



شکل ۹. نمودار $\text{Na}_2\text{O}+\text{K}_2\text{O}+\text{FeO}+\text{MgO}+\text{TiO}_2$ در مقابل $(\text{Na}_2\text{O}+\text{K}_2\text{O})/(\text{FeO}+\text{MgO}+\text{TiO}_2)$ برای تعیین منشأ سنگ‌های ریولیتی و داسیتی، نمودار از [۳۴]

ریولیت‌ها ویژگی‌های ماغماهای کالک آلکالن را دارند و جزء ماغماهای فلزیک (گرانیتوئیدهای) نوع I هستند. از نظر اندیس شاند، این سنگ‌ها متاآلومین تا پرآلومین هستند و در مرز بین این دو گروه قرار دارند. در نمودارهای عنکبوتی، عادی‌سازی شده نسبت به گوشتۀ اولیه، ریولیت‌ها آنومالی منفی در Ti و $Nb-Ta-Ti$ و P و آنومالی مثبت Pb نشان می‌دهند. نمونه‌های ریولیت‌ها نسبت $^{*}Eu/Eu$ کم و بین $45/51$ و $40/41$ دارند. از این رو، این امر دلالت بر حضور پلازیوکلаз در منشأ و یا جدایش این کانی در حین تفریق دارد. ویژگی‌های ژئوشیمیابی نظیر غنی‌شدگی عناصر ناسازگار La , K , Th , Ce و Ti , Nb , A/NK بیش از یک و A/CNK کمتر از یک در سنگ‌های ریولیتی، با مذاب‌های حاصل از پوسته زیرین هم‌خوانی بیشتری دارد. در نمودار شکل ۹، که برای تمایز پروتولیت منشأ سنگ‌های فلزیک ارائه شده، نمونه‌های مربوط به ریولیت‌ها در محدوده مذاب‌های مشتق شده از منشأ متاگریوک قرار دارند.

بنا بر پیشنهاد [۳۸]، غنی‌شدگی از عناصر ناسازگار Rb , K , Th , Rb و La و آنومالی منفی عناصر Ti , Nb , Sr و Ba بیان‌گر مذاب حاصل از منشأ پوسته‌ای است [۳۹]. همچنین [۴۰]، فراوانی عناصر LILE از قبیل K , U , Ti , Nb , Rb , La و Rb به همراه Pb و تهی‌شدگی عناصر Ti , Nb , Ti را به مذابی با منشأ پوسته قاره‌ای نسبت داده‌اند. برای تمایز منشأ پوسته‌ای و گوشتۀ ای، می‌توان از نسبت عناصر کمیاب در نمونه‌ها استفاده کرد. بدین صورت که، نسبت‌های $(La/Sm)_N$ و Nb/La در گوشتۀ بهترتیب حدود $0.23/0.25$ و در پوسته بهترتیب در حدود $0.23/0.25$ هستند [۴۱]. این نسبت‌ها در ریولیت‌های منطقه بهترتیب $0.20/0.20$ و $0.17/0.17$ و $0.18/0.17$ در تغییر است که نشان‌گر این است که پوسته نقش اصلی در شکل‌گیری آن‌ها ایفا کرده است.

دایک‌های بازالتی و اولیوین بازالتی

دایک‌های بازالتی و اولیوین بازالتی نهشته‌های آتشفسانی و آذرآواری اؤسن را قطع می‌کنند و جوان‌تر از اؤسن هستند. دایک‌های بازالتی به‌وفور در منطقه دیده می‌شوند. در حالی‌که، دایک‌های اولیوین بازالتی با فراوانی کم در منطقه رخمنون دارند. در نمودار [۱۸]، دایک‌های بازالتی و اولیوین بازالتی، در محدوده سنگ‌های آلکالن و بهترتیب در محدوده تراکی بازالت و بازانیت قرار دارند. دایک‌های بازالتی میزان SiO_2 تا 47 درصد نشان می‌دهند و میزان $#Mg$ و عناصر سازگار در آن‌ها پایین‌تر از ماغماهایی است که مستقیماً از ذوب گوشتۀ ایجاد شده‌اند (جدول ۱). از این رو، این سنگ‌ها دچار فرایند تفریق بلورین در حین صعود شده‌اند و ماغماهای اولیه نیستند.

اولیوین بازالت‌ها، در مقایسه با بازالت‌ها، میزان MgO و مقادیر عناصر سازگار زیادی دارند و در محدوده ماغماهای نشأت گرفته از گوشتۀ قرار می‌گیرند. همچنین، این سنگ‌ها میزان نفلین نرماتیو زیادی دارند (حدود 15 درصد). در حالی‌که، در بازالت‌ها میزان نفلین نرماتیو کم است (کمتر از 10 درصد). همچنین، در مقایسه با بازالت‌ها، اولیوین بازالت‌ها میزان TiO_2 , Al_2O_3 اندک دارند (جدول ۱ و شکل ۵). آنومالی منفی $Nb-Ta$ در نمودارهای عنکبوتی، نشان‌گر این است که ماغمای اولیه دایک‌های بازالتی و اولیوین بازالتی از منبع گوشتۀ متاسوماتیسم شده با فرایندهای فروزانشی ایجاد شده‌اند. این امر، در نمودار Nb/Yb در مقابل Th/Yb نیز مشهود است، به طوری‌که نمونه‌های بررسی شده در بخش بالایی آرایه گوشتۀ ای و در محدوده منابع متأثر از فرایندهای فروزانشی قرار دارند (شکل ۷a). در نمودار La/Sm در مقابل Sm/Yb نمونه‌های مربوط به دایک‌ها از منبع گوشتۀ لرزولیتی غنی شده

نشأت گرفته‌اند که میزان اسپینل در آن بیشتر از گارنت است. همچنان که در این نمودار نیز مشهود است، ماغماهای مربوط به دایک‌های اولیوین بازالتی و بازالتی از ذوب کمتر از ۵ درصد یک منشأ گارنت اسپینل لرزولیتی متاسوماتیسم شده به وسیلهٔ فرایندهای فرورانشی ایجاد شده‌اند (شکل ۸).

محیط تکتونیکی

کمربند آتشفشاری شمال بم، موازی با کمربند ماغماتی جبال بارز و با راستای شمال‌غربی-جنوب‌شرقی، از ابرق تا نرمانشیر ادامه دارد. ادامه شمال‌غربی این کمربند آتشفشاری با گسل نایبند بریده و قطع می‌شود. در بخش جنوب شرقی ادامه این کمربند به دشت نرمانشیر ختم می‌شود و در ادامه احتمالاً به وسیلهٔ گسل کهورک بریده و قطع می‌شود. این گسل را ادامه جنوب‌غربی گسل نهیندان می‌توان محسوب کرد. کمربند مذکور به فاصلهٔ ۵۰ کیلومتری شمال تا شمال‌شرق کمربند جبال بارز قرار دارد. این دو کمربند، به‌واسطهٔ گسل شمال بم، از هم‌دیگر جدا می‌شوند که این گسل ادامه گسل نایبند در نظر گرفته شده است. کمربند آتشفشاری شمال بم حدود ۵۰ کیلومتر عرض و ۲۰۰ کیلومتر طول دارد و ماغماتیسم گسترهای را در طول ائوسن به‌همراه داشته است. نهشته‌های آتشفشاری ائوسن عمدتاً ماهیت مافیک و فلزیک دارند و ترم‌های میانه در آن‌ها فراوانی کمتری دارند. که در مقایسه با کمربند جبال بارز ویژگی شاخص این کمربند است. انواع دایک‌های بازالتی با سن بعد از ائوسن نهشته‌های آتشفشاری را قطع می‌کنند.

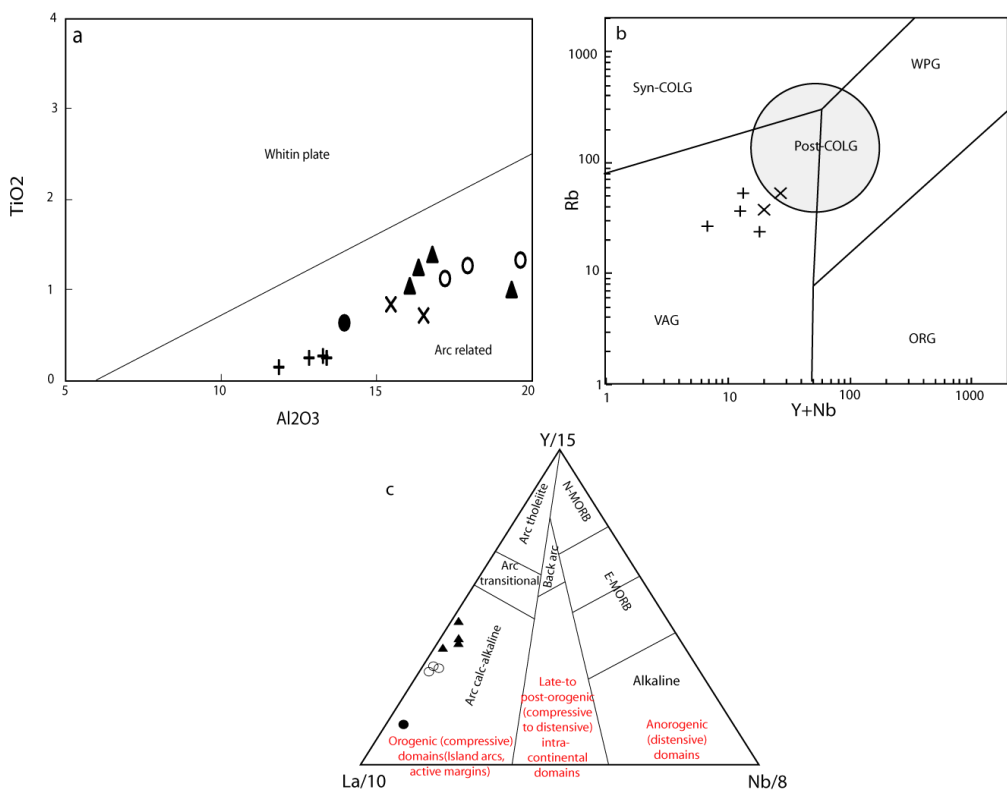
در نمودارهای تمایز تکتونیکی که برای سنگ‌های مافیک و دایک‌ها و همچنین سنگ‌های فلزیک ترسیم شده است عموماً سنگ‌های منطقه در محیط قوس آتشفشاری قرار می‌گیرند. در نمودار TiO_2 در مقابل Al_2O_3 از [۴۲]، تمام نمونه‌های بررسی شده مربوط به سنگ‌های آتشفشاری و دایک‌ها در محیط‌های قوسی قرار دارند (شکل ۱۰a).

برای تعیین جای‌گاه تکتونیکی سنگ‌های اسیدی (گرانیت‌وئیدها)، نمودارهای مختلفی پیشنهاد شده است [۴۳]، [۴۴]، ولی قابل استفاده‌ترین آن‌ها نمودارهایی هستند که براساس فراوانی عناصر کمیاب کم تحرک در برابر فرآیندهای دگرسانی و هوازدگی طراحی شده باشد. چنان‌چه در شکل ۱۰b ملاحظه می‌شود، نمونه‌های ریولیت‌ها و داسیت‌ها در محدوده قوس آتشفشاری قرار می‌گیرند. در نمودار Rb در مقابل $Y+Nb$ ، که برای تمایز محیط تکتونیکی سنگ‌های اسیدی ارائه شده است [۴۳]، [۴۳]، نمونه‌های مربوط به ریولیت‌ها و داسیت‌های منطقه در محیط قوس آتشفشاری قرار دارند. چنان‌که در شکل ۷a نیز مشخص است، نسبت‌های زیاد La/Yb و Th/Yb در نمونه‌های ریولیت‌های منطقه، با شکل‌گیری آن‌ها در محیط تکتونیکی حاشیه فعال اनطباق دارد.

برای تعیین محیط تکتونیکی سنگ‌های مافیک، نمودارهایی که از عناصر کمتر متحرک و غیرمتحرک در آن‌ها استفاده شده باشد. کاربرد بهتری دارند به این منظور از نمودار مثلثی $La/10-Nb/8-Y/15$ [۴۵]، که برای سنگ‌های بازالتی کاربرد دارد، استفاده شد. در این نمودار، نمونه‌های آندزیت بازالتی و آندزیتی مربوط به ائوسن و دایک‌های بازالتی و اولیوین بازالتی منطقه در محدوده بازالت‌های مناطق قوس قاره‌ای قرار می‌گیرند (شکل ۱۰c).

با توجه به مطالب مذکور، تاریخچه تکتونیکی منطقه را می‌توان این‌چنین بازسازی کرد. فرورانش پوسته اقیانوسی نئوتیس به زیر بخش جنوبی بلوك کویر لوت و ایران مرکزی همانند سایر بخش‌های کمربند ارومیه-دختر، باعث رخداد ماغماتیسم عظیمی در ائوسن و بعد از ائوسن شده است. سیالات و مذاب‌های حاصل از آبرزایی و ذوب پوسته

اقیانوسی و رسوبات فرورونده سبب متاسوماتیسم گوشتۀ بالایی شده است. ذوب این گوشتۀ متاسوماتیسم شده سبب ایجاد ماجماهای بازیک با ویژگی زون‌های فرورانشی شده است. این مذاب‌ها در حین صعود به سمت بالا دچار تحول شده‌اند. هم‌چنین، در این مرحله، در تحول ماجماها احتمالاً فرایند^۱ MASH [۴۶] نیز نقش بسزایی داشته است. در اثر این فرایندها، ماجماهای بازیک حاصل از گوشتۀ متاسوماتیسم شده به انواع ماجماهای آندزیتی و آندزیت بازالتی متحول شده‌اند. انباسته شدن مذاب‌های مافیک در مرز بین گوشتۀ و پوسته و افزایش گرادیان زمین گرمایی، سبب ذوب پوسته زیرین آمفیبولیتی و سنگ‌های متاگریوک شده است. مذاب‌های حاصل به ترتیب ایجاد ماجماهای داسیتی و ریولیتی را کرده است. بعد از ائوسن، به دلیل برخورد صفحات قاره‌ای و آشفتگی‌های دمایی ناشی از آن، گوشتۀ لیتوسفری متاسوماتیسم شده با ترکیب گارنت اسپینل لرزولیتی در درجات متفاوت ذوب شده است و در نتیجه ماجماهای مربوط به انواع دایک‌های بازالتی و اولیوین بازالتی ایجاد شده‌اند.



شکل ۱۰. نمودارهای تعیین محیط تکتونیکی سنگ‌های بررسی شده، (a) در مقابل Al_2O_3 در مقابل TiO_2 در مقابله با Al_2O_3 بررسی شده در محدوده قوس قرار دارند، (b) در مقابل Rb در مقابل $\text{Y}+\text{Nb}$ در مقابله با $\text{Y}+\text{Nb}$ بررسی شده در محدوده سنگ‌های فلزیک مربوط به قوس قرار دارند، (c) در مقابل $\text{Y}/15-\text{Nb}/8-\text{La}/10$ در مقابل $\text{Nb}/8$ بررسی شده در محدوده سنگ‌های کالک آلکالن مربوط به محیط‌های کوه‌زایی و قوس قاره‌ای قرار دارند. نمودارها به ترتیب از [۴۲]، [۴۳]، [۴۴]، [۴۵] مودارها به ترتیب از [۴۲]، [۴۳]، [۴۴]، [۴۵]

نتیجه‌گیری

کمریند آتشفشنای شمال به، در دوره ائوسن و بعد از آن ماجماتیسم گستردۀای را تحمل کرده است. در این کمریند، انواع سنگ‌های آتشفشنای و آذرآواری اسیدی و بازیک و هم‌چنین با حجم کمتر سنگ‌های با ترکیب میانه در

1. Melting-Assimilation-Storage-Homogenization

زمان ائوسن تشکیل شده‌اند. سنگ‌های اسیدی دامنه ترکیبی از داسیت تا ریولیت را دارند. سنگ‌های ائوسن، به وسیلهٔ دایک‌های با ترکیب بازالتی و اولیوین بازالتی قطع می‌شوند.

نمونه‌های بررسی شده دامنه ترکیبی از بازالت و بازانیت تا ریولیت را نشان می‌دهند. اغلب نمونه‌های بررسی شده، به غیر از دایک‌ها، ماهیت ساب آلکالن و کالک آلکالن دارند. سنگ‌های بررسی شده، در نمودارهای عنکبوتی، غنی‌شدگی از عناصر LILE و تهی‌شدگی از عناصر HFSE را نشان می‌دهند. ریولیت‌ها و داسیت‌ها ماهیت متا‌آلومین دارند و قابل مقایسه با ماغماهای فلزیک نوع I هستند.

براساس ویژگی‌های ژئوشیمیایی، سنگ‌های مختلف بررسی شده، از منابع مختلف گوشه‌ای و پوسته‌ای نشأت گرفته‌اند. سنگ‌های ریولیتی از منشأ متاگریوک در پوسته و داسیت‌ها از منشأ آمفیبولیت در پوسته تحتانی ایجاد شده‌اند. سنگ‌های آندزیتی و آندزیت بازالتی از تحول مagma نشأت گرفته از گوشه متاسوماتیسم شده در اثر فرایندهای AFC و MASH ایجاد شده‌اند. دایک‌های بازالتی و اولیوین بازالتی از ذوب‌بخشی گوشه لیتوسفیری با ترکیب گارنت اسپینل لرزولیتی در اثر درجات ذوب بخشی متفاوت ایجاد شده‌اند. سنگ‌های آتشفشاری بررسی شده در محیطی تکتونیکی قوس آتشفشاری تشکیل شده‌اند.

منابع

1. Gill J.B., "Orogenic Andesites and plate Tectonics", Springer, New York (1981).
2. Tatsumi Y., "Migration of fluid phases and genesis of basalt magmas in subduction zones", Journal of Geophysical Research 94 (1989) 697-707.
3. Hawkesworth C.J., Gallagher K., Herdt J.M., Mc-Dermott F., "Mantle and slab contributions in arc magmas", Annu Rev. Earth Planet. Sci., 21 (1993) 175-204.
4. Arculus R.J., "Aspects of magma genesis in arcs", Lithos 33 (1994) 189-208.
5. Pears J.A., Peate D.W., "Tectonic implication of the composition of volcanic arc magmas", Annal Review of earth and planetary Sciences Letter 23 (1995) 251-285.
6. Wilson M., "Igneous petrogenesis: a global tectonic approach", Unwind Hyman London, (1989).
7. Lustrino M., Marjorie W., "The circum-Mediterranean anorogenic Cenozoic igneous province", Earth-Science Reviews 81 (2007) 1-65.
8. Stocklin J., "Possible ancient continental margins in Iran. In: C.A. Burke, C.L. Drake, (Eds.)", The Geology of Continental Margins, Springer, New York (1974) 873-887.
9. Agard P., Omrani J., Jolivet L., Whitechurch H., Vrielynck B., Spkman W., Monie P., Meyer B., Wortel R., "Zagros orogeny: a subduction-dominated process", Geological Magazine (2011) 1-34.

10. Castro A., Aghazadeh M., Badrzadeh Z., Chichorro M., "Late Eocene-Oligocene post-collisional monzonitic intrusions from the Alborz magmatic belt", NW Iran. An example of monzonite magma generation from a metasomatized mantle source, *Lithos* 180-181 (2013) 109-127.
11. Berberian F., Berberian M., "Tectono-plutonic episodes in Iran, in Zagros, Hindukush, Hymalaya", geodynamic evolution. In: (eds) Gupta H and Delany F, American Geophysical Union, *Geodynamics Series* 3(1981) 5-32.
12. Shahabpour J., "Tectonic evolution of the orogenic belt in the region located between Kerman and Neyriz", *Journal of Asian Earth Sciences* 24 (2005) 405-417.
13. Alavi M., "Tectonic of the Zagros Orogenic Belt of Iran: New Data and Interpretations", *Tectonophysics*, 229 (1994) 211-238.
14. Amidi S.M., Emami M.H., Michel R., "Alkali character of Eocene volcanism in the middle part of central Iran and its geodynamic situation", *Geol. Rundsch*, 73 (1984) 917-932.
15. Aghazadeh M., Castro A., Badrzadeh Z., Vogt K., "Post-collisional polycyclic plutonism from the Zagros hinterland, The Shaivar-Dagh plutonic complex Alborz belt, Iran", *Geological Magazine* 148 (2011) 980-1008.
16. Omrani J., Agard P., Whitechurch H., Benoit M., Prouteau G., Jolivet L., "Arc magmatism and subduction history beneath the Zagros Mountains, Iran: A new report of adakites and geodynamic consequences", *Lithos* 106 (2008) 380-398.
17. Ghasemi A., Talbot C.J., "A new tectonic scenario for the Sanandaj-Sirjan zone (Iran)", *Journal of Asian Earth Sciences*, 26 (2006) 683-693.
18. Le Maitre R.W.A., "Classification of Igneous Rocks and Glossary of Terms", Blackwell, Oxford (1989).
19. Peccerillo A., Taylor S.R., "Geochemistry of Eocene calc-alkaline volcanic rocks from the Kastamonu area", Northern Turkey. *Contrib. Mineral. Petrol.*, 58 (1976) 63-81.
20. Sun S.S., McDonough W.F., "Chemical and isotopic systematic of basalt: implications for mantel composition and processes, In: A. D., Saunders and M. J., Norry (Eds)", *Magmatism in ocean basin* Geology Society Special Publication London 42 (1989) 313-345.
21. Alici P., Temel A., Gourgaud A., Kieffer G., Gundogdu M.N., "Petrology and geochemistry of potassic rocks in the Golcuk area (Isparta, SW Turkey): genesis of enriched alkaline magmas", *Journal of Volcanology and Geothermal Research* 85 (1998) 423-46.

22. Fitton J.G., James D., Leeman W.P., "Basic magmatism associated with Late Cenozoic extension in the Western United States: compositional variations in space and time", *Journal of Geophysical Research* 96 (1991) 13693-13711.
23. Thompson R.A., Johnson C.M., Mehnert H.H., "Oligocene basaltic volcanism of the northern Rio Grande rift: Sun Luis Hills Colorado", *Journal of geophysical research*, 96 (1991) 13577-13592
24. Ringwood A.E., "Slab-Mantle interactions: Petrogenesis of intra plate magmas and structure of the upper mantle", *Chemical Geology* 82 (1990) 187-207.
25. Sanders H.L., Grassle J.F., Hampson G.R., Morse L.S., Garner-Price S., Jones C.C., "Anatomy of an oil spill: long-term effects from the grounding of the barge Florida off West Falmouth", *Massachusetts, J. mar. Res.* 38 (1980) 265-380.
26. Castillo P.R., "An overview of adakite petrogenesis", *Chinese Science Bulletin* 51(2006) 257-268.
27. Pearce J.A., Peate D.W., "Tectonic implications of the composition of volcanic arc magmas", *Annual Review of Earth and Planetary Sciences* 123 (1994) 251-285.
28. Defant M.J., Drummond M.S., "Mount St. Helens: Potential example of the partial melting of the subducted lithosphere in a volcanic arc", *Geology* 21 (1993) 547-550.
29. Askren D.R., Roden M.F., Whitney J.A., "Petrogenesis of tertiary andesite lava flows interlayered with large-volume felsic ash-flow tuffs of the western USA", *Journal of Petrology* 38 (1997) 1021-1046.
30. McDonough W.F., "Chemical and isotopic systematic of continental lithospheric mantle, In: Kimberlites, Related Rocks and Mantle Xenoliths", Meyer, H.O.A. and Leonardos, O.H. (Editors), Companhia de Pesquisa de Recursos Minerais, Rio de Janeiro, 1 (1991) 478-485.
31. Kelemen P.B., Shimizu N., Dunn J.T., "Relative depletion of niobium in some arc magmas and the continental crust: Partitioning of K, Nb, La and Ce during melt/rock reaction in the upper mantle", *Earth Planet. Sci. Lett.* 120 (1993) 111-133.
32. Aldanmaz E., Pearce J.A., Thirlwall M.F., Mitchell J.G., "Petrogenetic evolution of Late Cenozoic, post-collision volcanism in western Anatolia, Turkey", *Journal of Volcanology and Geothermal Research* 102 (2000) 67-95.
33. Roberts M.P., Clemens J.D., "The origin of high potassium, calc-alkaline", I-type granitoids, *Geology* 21(1993) 825-828.

34. Patino Douce A.E., "Effects of pressure and H₂O content on the compositions of primary crustal melts", *Trans R Soc Edinburgh Earth Sci* 87 (1996) 11-21.
35. Patino Douce A.E., "What do experiments tell us about the relative contributions of crust and mantle to the origin of granitic magmas? In: Castro, A., Fern_andez, C. & Vigneresse, J. L. (eds) *Understanding Granites: Integrating New and Classical Techniques*", Geological Society, London, Special Publications 168 (1999) 55-75.
36. Bacon C.R., Druitt T.H., "Compositional evolution of the zoned calcalkaline magma chamber of mount Mazama", *Crater Lake, Oregon, Contribution to Mineralogy and Petrology* 98 (1988) 224-256.
37. Guffanti M., Clyne M.A., Muffler L.J.P., "Thermal and mass implications of magmatic evolution in the Lassen volcanic region, California, and minimum constraints on basalt influx to the lower crust", *Journal of Geophysical Research* 101 (1996) 148-227.
38. Chappell B.W., White A.J.R., "I-and S-type granites in the Lachlan Fold Belt", *Transactions of the Royal Society of Edinburgh: Earth Sciences* 83 (1992) 1-26.
39. Thuy Nguyen T.B., Satir M., Siebel W., Vennemann T., Van Long T., "Geochemical and isotopic constraints on the petrogenesis of granitoids from the Dalat zone, southern Vietnam", *Journal of Asian Earth Sciences* 23 (2004) 467-482.
40. Taylor S.R., McLennan S.M., "The Continental Crust: its Composition and Evolution", Blackwell, Oxford (1985).
41. Weaver B.L., Tarney J., "Empirical approach to estimating the composition of the continental crust", *Nature* 310 (1984) 575-577.
42. Muller D., Groves D.I., "Potassic igneous rocks and associated gold-copper mineralization", Springer-Verlag (1997).
43. Pearce J.A., Harris N.B., Tindle A.G., "Trace element discrimination diagrams for the tectonic interpretation of granitic rocks", *Journal of Petrology* 25 (1984) 956-983.
44. Forster H.J., Tischendorf G., Trumbull R.B., "An evaluation of the Rb vs. (Y+ Nb) discrimination diagram to infer tectonic setting of silicic igneous rocks", *Lithos* 40 (1997) 261-293.
45. Cabanis B., Lecolle M., "The La/10-Y/15-Nb/8 diagram; a tool for distinguishing volcanic series and discovering crustal mixing and/or contamination", *Competes Rendus de l'Academie des Sciences*, 309 (1989) 2023-2029 (in French with an English abstract).
46. Hildreth W., Moorbat S., "Crustal contribution to arc magmatism in the Andes of Central Chile", *Contributions to Mineralogy and Petrology* 98 (1988) 455-489.